

บทที่ 4

ผลการทดลองและวิจารณ์

4.1 สภาวะที่เหมาะสมในการลดความขมจากเปลือกในส้มโอ

เนื่องจากเปลือกในส้มโอมีสารให้รสขม คือ นารินจิน และลิโมนิน เป็นองค์ประกอบ ดังนั้นจึงจำเป็นต้องกำจัดหรือลดสารให้รสขมเหล่านี้ให้เหลือน้อยที่สุดก่อน ถึงจะนำเปลือกในส้มโอมาผลิตเส้นใยอาหารผง การลดความขมทำได้สัปดาห์ด้วยน้ำร่วมกับการใช้อุณหภูมิและเวลา และการปรับพีเอช ซึ่งเป็นวิธีที่ง่าย ทั้งยังมีต้นทุนในการดำเนินการต่ำเมื่อเปรียบเทียบกับวิธีอื่น

Response surface methodology (RSM) เป็นกระบวนการที่มีประสิทธิภาพในการหาสภาวะที่เหมาะสมในการผลิตในระดับอุตสาหกรรม โดยมีหลักการคือ การสร้างสมการแบบจำลองความสัมพันธ์ระหว่างตัวแปรอิสระและตัวแปรตาม จากนั้นจึงหาสภาวะที่เหมาะสมในการผลิตจากสมการที่สร้างขึ้น (Cho *et al.*, 2005) ข้อดีของ RSM คือ ลดจำนวนสิ่งทดลองที่ต้องการศึกษาผลของปัจจัยต่างๆ และอิทธิพลร่วมระหว่างปัจจัย ทำให้ใช้ระยะเวลาและค่าใช้จ่ายในการดำเนินการลดลง (Kim *et al.*, 2004) ดังนั้นจึงนำมาประยุกต์ใช้ในการหาสภาวะที่เหมาะสมในการลดความขมจากเปลือกในส้มโอ โดยวางแผนการทดลองแบบ Central Composite ศึกษาผลของปัจจัยอิสระ 3 ปัจจัย คือ พีเอชของสารละลาย อุณหภูมิ และระยะเวลาการสกัดต่อปริมาณนารินจิน (naringin) และลิโมนิน (limonin) ที่คงเหลือในเปลือกในส้มโอ ซึ่งตัวแปรรหัสและตัวแปรจริงที่ใช้ในการทดลองแสดงดังตารางที่ 4.1 ผลการทดลองแสดงดังตารางที่ 4.2 และค่าสัมประสิทธิ์ของตัวแปรอิสระ P -value และสัมประสิทธิ์การตัดสินใจ (R^2) แสดงดังตารางที่ 4.3

ตารางที่ 4.1 ตัวแปรรหัสและตัวแปรจริงที่ใช้ในการทดลอง

ตัวแปรอิสระ (Independent variables)	สัญลักษณ์ (Symbol)	ตัวแปรรหัส (Coded variable) และ ตัวแปรจริง (Actual variable)				
		-2	-1	0	1	2
พีเอช	X_1	6	7	8	9	10
อุณหภูมิการสกัด (องศาเซลเซียส)	X_2	30	40	50	60	70
ระยะเวลาการสกัด (นาที)	X_3	10	20	30	40	50

ตารางที่ 4.2 ปริมาณนารินจินและลิโมนินที่คงเหลือในเปลือกส้มโอ (mg/100g)

การทดลอง	ระดับตัวแปรอิสระ ¹			ปริมาณนารินจินที่คงเหลือ (mg/100g)		ปริมาณลิโมนินที่คงเหลือ (mg/100g)	
	พีเอช	อุณหภูมิ (°C)	เวลา (นาที)	ค่าจากการทดลอง	ค่าจากการทำนาย	ค่าจากการทดลอง	ค่าจากการทำนาย
1	-1 (7)	-1 (40)	-1 (20)	47.35	48.31	0.5	0.61
2	1 (9)	-1 (40)	-1 (20)	38.44	50.39	0.8	0.84
3	-1 (7)	1 (60)	-1 (20)	23.06	29.23	0.19	0.22
4	1 (9)	1 (60)	-1 (20)	40.41	31.31	0.25	0.27
5	-1 (7)	-1 (40)	1 (40)	12.91	24.55	0.22	0.27
6	1 (9)	-1 (40)	1 (40)	29.6	26.63	0.27	0.31
7	-1 (7)	1 (60)	1 (40)	11.96	5.47	0.61	0.63
8	1 (9)	1 (60)	1 (40)	3.16	7.55	0.56	0.50
9	-2 (6)	0 (50)	0 (30)	29.93	25.84	0.27	0.19
10	2 (10)	0 (50)	0 (30)	30.1	30	0.27	0.28
11	0 (8)	-2 (30)	0 (30)	61.4	52.56	0.89	0.80
12	0 (8)	2 (70)	0 (30)	9.91	14.4	0.58	0.60
13	0 (8)	0 (50)	-2 (10)	61.15	58.2	0.59	0.51
14	0 (8)	0 (50)	2 (50)	11.95	10.68	0.4	0.40
15	0 (8)	0 (50)	0 (30)	17.06	15.88	0.4	0.44
16	0 (8)	0 (50)	0 (30)	18.94	15.88	0.47	0.44
17	0 (8)	0 (50)	0 (30)	15.83	15.88	0.53	0.44

หมายเหตุ: ¹ตัวเลขนอกวงเล็บเป็นตัวแปรรหัส (coded variable) ตัวเลขในวงเล็บเป็นตัวแปรจริง (actual variable)

ตารางที่ 4.3 สัมประสิทธิ์ และการวิเคราะห์ความแปรปรวนของแบบจำลองค่าตอบสนองของปริมาณนารินจินและลิโมนินที่คงเหลือในเปลือกในส้มโอ (mg/100g)

แหล่งของ ความ แปรปรวน	ค่าสัมประสิทธิ์		P-value	
	ปริมาณนารินจิน	ปริมาณลิโมนิน	ปริมาณนารินจิน	ปริมาณลิโมนิน
แบบจำลอง			< 0.0005	<0.0014
β_0	15.88	0.45		
X_1	1.04	0.023	0.6042	0.3119
X_2	-9.54	-0.05	0.0006	0.0433
X_3	-11.88	-0.029	< 0.0001	0.2052
X_1^2	3.01	-0.054	0.0316	0.0150
X_2^2	4.42	0.063	0.0254	0.0071
X_3^2	4.64		0.0320	
$X_1 X_2$		-0.043		0.1874
$X_1 X_3$		-0.045		0.1654
$X_2 X_3$		0.19		<0.0002
Residual				
Lack of fit			0.0320	0.3906
Adjusted R^2			0.8026	0.8317

หมายเหตุ: β_0 หมายถึง ค่าคงที่

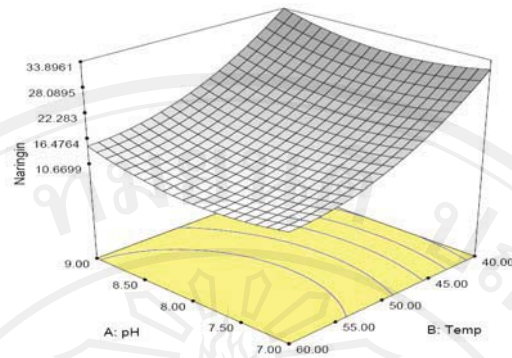
4.1.1 ปริมาณนารินจินที่คงเหลือในเปลือกในส้มโอ

สมการค่าตอบสนองของปริมาณนารินจินที่คงเหลือในเปลือกในส้มโอ คือ

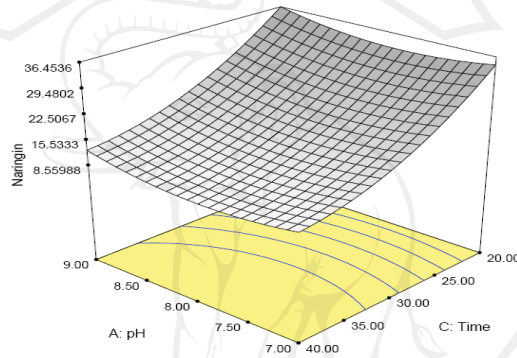
$$Y_1 = + 15.88 + 1.04X_1 - 9.54X_2 - 11.88X_3 + 3.01X_1^2 + 4.42X_2^2 + 4.64X_3^2 \text{ (สมการที่ 1)}$$

โดยทุกเทอมมีผลต่อค่าตอบสนองอย่างมีนัยสำคัญทางสถิติ ($p \leq 0.05$) ยกเว้น X_1 แต่เทอมนี้ทำให้สมการมีค่า adjusted R^2 สูง จึงยังรวมเอาไว้ในสมการ จากการวิเคราะห์ ค่า Residual พบว่า มี lack-of-fit แสดงว่าสมการพหุนามกำลังสอง (quadratic polynomial) อาจไม่เหมาะสมสำหรับการอธิบายปริมาณนารินจินที่คงเหลือในเปลือกในส้มโอ ตามสภาวะการสกัดทั้ง 3 ปัจจัย

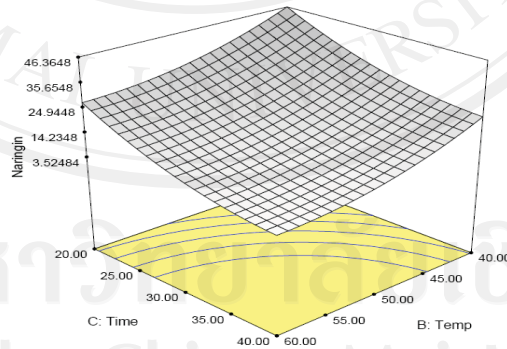
เมื่อพิจารณาความสัมพันธ์ระหว่างค่าตอบสนองและตัวแปรอิสระ พบว่า ปริมาณนารินจินที่คงเหลือในเปลือกในส้มโอ มีความสัมพันธ์กับพีเอชของสารละลาย อุณหภูมิ และระยะเวลาการสกัดในรูปแบบ Quadratic ดังสมการที่ 1 โดยมีค่าสัมประสิทธิ์การตัดสินใจ (R^2) เท่ากับร้อยละ 80.26 จากการสมการ จะเห็นได้ว่า ระยะเวลาการสกัดมีผลต่อการลดลงของปริมาณนารินจินในเปลือกในส้มโอมากที่สุด รองลงมาคือ อุณหภูมิการสกัด ส่วนพีเอชของสารละลายมีผลต่อการสกัดนารินจินน้อยที่สุด อย่างไรก็ตามการปรับพีเอชของสารละลายถือว่ามีความสำคัญต่อการสกัดนารินจิน ซึ่งสอดคล้องกับงานวิจัยของ Yoon *et al.* (1997) ที่พบว่า ฟลาโวนอยด์ (flavonoids) จะไม่ละลายในตัวทำละลายที่มีพีเอชต่ำ แต่จะละลายอย่างสมบูรณ์ในสารละลายต่าง ดังนั้นการปรับพีเอชด้วยสารละลายต่างร่วมกับการเพิ่มอุณหภูมิ จะทำให้เกิดการไฮโดรไลซ์นารินจินซึ่งเป็นสารให้รสขมที่อยู่ในเปลือกในส้มโอเปลี่ยนโครงสร้างเป็นสารให้รสหวาน (sweet dihydrochalcone) เมื่ออุณหภูมิสูงขึ้นจะทำให้การละลายของนารินจินในตัวทำละลายเพิ่มขึ้น เนื่องจากนารินจินละลายได้ดีในน้ำอุ่น (ชนิกานต์, 2549) ส่งผลให้ปริมาณนารินจินที่คงเหลือในเปลือกในส้มโอลดลง (รูปที่ 4.1 ก) และเมื่อใช้ระยะเวลาการสกัดเพิ่มขึ้น จะทำให้เกิดการไฮโดรไลซ์อย่างสมบูรณ์ยิ่งขึ้น (สุวรรณ และคณะ, 2547) ทำให้ปริมาณนารินจินที่คงเหลือในเปลือกในส้มโอลดลง (รูปที่ 4.1 ข) เมื่อพิจารณาความสัมพันธ์ระหว่างอุณหภูมิและระยะเวลาการสกัด พบว่า การใช้อุณหภูมิสูงและระยะเวลาในการสกัดนานจะทำให้ปริมาณนารินจินที่คงเหลือในเปลือกในส้มโอมีปริมาณต่ำที่สุด (รูปที่ 4.1 ค) ซึ่งสอดคล้องกับการงานวิจัยของ Kim *et al.* (2004) ซึ่งศึกษาสภาวะที่เหมาะสมในการสกัดนาริรูติน (narirutin) ในระหว่างขั้นตอนการล้างของการผลิตเพคตินจากเปลือกพืชตระกูลส้ม พบว่า เมื่อเพิ่มอุณหภูมิและระยะเวลา จะทำให้สกัดนาริรูตินออกจากเปลือกส้มได้เพิ่มขึ้น โดยสภาวะที่เหมาะสม คือ อุณหภูมิ 62 องศาเซลเซียสเป็นเวลา 30 นาที และไม่เติมกรดไฮโดรคลอริก สามารถสกัดนาริรูตินได้ร้อยละ 0.6 โดยสูญเสียบเพคตินเพียงร้อยละ 1.5



(ก)



(ข)



(ค)

รูปที่ 4.1 พื้นที่ตอบสนองของปริมาณนารินจินที่คงเหลือในเปลือกส้มโอ (mg/100g)

(ก) พีเอชและอุณหภูมิการสกัด (ข) พีเอชและระยะเวลาการสกัด (ค) อุณหภูมิและระยะเวลาการสกัด โดยปัจจัยที่สามในแต่ละกราฟกำหนดให้คงที่ที่จุดกึ่งกลางของช่วงที่ทดสอบ

4.1.2 ปริมาณลิโมนินที่คงเหลือในเปลือกในส้มโอ คือ

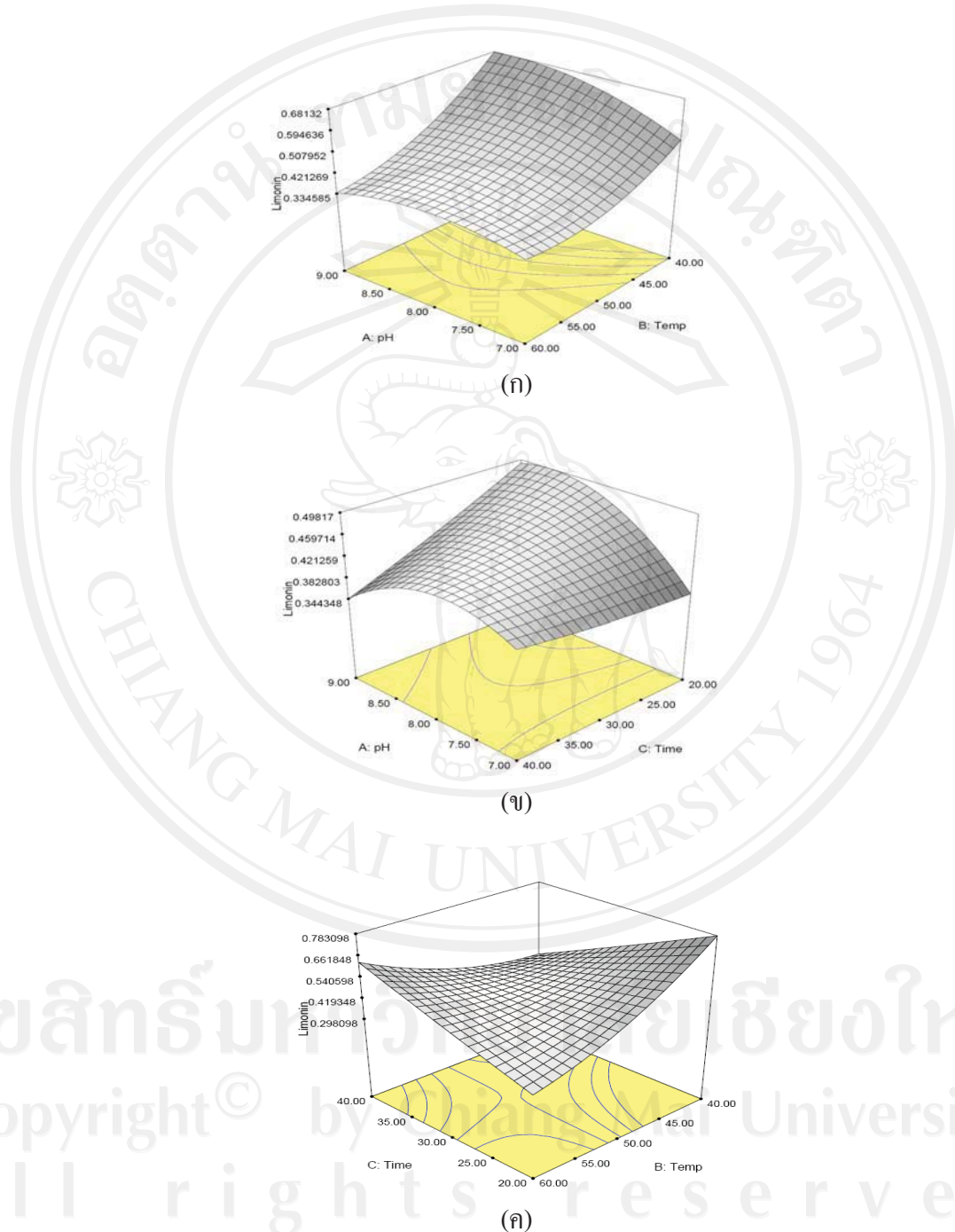
สมการค่าตอบสนองของปริมาณลิโมนินที่คงเหลือในเปลือกในส้มโอ คือ

$$Y_2 = + 0.45 + 0.023X_1 - 0.050X_2 - 0.029X_3 - 0.054 X_1^2 + 0.063 X_2^2 - 0.043X_1 X_2 - 0.045 X_1 X_3 + 0.19 X_2 X_3 \text{ (สมการที่ 2)}$$

โดยทุกเทอมมีผลต่อค่าตอบสนองอย่างมีนัยสำคัญ ($p \leq 0.05$) ยกเว้น X_1 , X_3 , $X_1 X_2$ และ $X_1 X_3$ แต่เทอมเหล่านี้ทำให้สมการมีค่า adjusted R^2 สูง จึงยังรวมเอาไว้ในสมการ จากการวิเคราะห์ค่า Residual พบว่า ไม่มี lack-of-fit แสดงว่า สมการพหุนามกำลังสอง (quadratic polynomial) เหมาะสมสำหรับการอธิบายปริมาณลิโมนินที่คงเหลือในเปลือกในส้มโอ ตามสภาวะการสกัดทั้ง 3 ปัจจัย

เมื่อพิจารณาความสัมพันธ์ระหว่างค่าตอบสนองและตัวแปรอิสระ พบว่า ปริมาณลิโมนินที่คงเหลือในเปลือกในส้มโอมีความสัมพันธ์กับพีเอชของสารละลาย อุณหภูมิการสกัด และระยะเวลาการสกัดในรูปแบบ Quadratic ดังสมการที่ 2 โดยมีค่าสัมประสิทธิ์การตัดสี่ในใจ (R^2) เท่ากับร้อยละ 83.17 จากการสมการ จะเห็นได้ว่า พีเอชของสารละลาย อุณหภูมิการสกัด และระยะเวลาการสกัด มีผลต่อปริมาณลิโมนินที่คงเหลือในเปลือกในส้มโอ โดยอุณหภูมิการสกัดมีผลต่อการลดลงของปริมาณลิโมนินในเปลือกในส้มโอมากที่สุด รองลงมาคือ ระยะเวลาการสกัด และพีเอชของสารละลาย เมื่อเพิ่มอุณหภูมิการสกัด ทำให้ปริมาณลิโมนินที่คงเหลือในเปลือกในส้มโอลดลงอย่างรวดเร็วเมื่อเทียบกับพีเอชที่มีผลต่อการลดลงของปริมาณลิโมนินที่คงเหลือน้อย (รูปที่ 4.2 ก) เมื่อพิจารณาความสัมพันธ์ระหว่างพีเอชของสารละลายและระยะเวลาการสกัด พบว่าการเพิ่มพีเอชของสารละลายและระยะเวลาการสกัด ทำให้ปริมาณลิโมนินที่คงเหลือในเปลือกในส้มโอลดลง (รูปที่ 4.2 ข) ส่วนความสัมพันธ์ระหว่างอุณหภูมิและระยะเวลาการสกัด พบว่า เมื่อใช้อุณหภูมิการสกัดสูง สามารถลดระยะเวลาการสกัดให้สั้นลง ขณะเดียวกันเมื่อใช้อุณหภูมิการสกัดต่ำต้องใช้เวลาในการสกัดนานขึ้น เพื่อให้มีปริมาณลิโมนินที่คงเหลือในเปลือกในส้มโอน้อยที่สุด อย่างไรก็ตามอุณหภูมิและระยะเวลาการสกัดที่ใช้จะต้องเหมาะสมด้วย เพราะถ้าไม่เหมาะสมอาจ ทำให้ปริมาณสารให้รสขมเพิ่มขึ้นได้ (สุวรรณ และคณะ, 2547) ซึ่งสอดคล้องกับผลการทดลอง ที่พบว่า ถ้าใช้อุณหภูมิการสกัดสูงและระยะเวลาในการสกัดนาน ความร้อนที่เพิ่มขึ้นจะทำให้ลิโมนิเอท เอริง แลคโตน (Limonate A-ring lactone) ซึ่งเป็นสารที่ไม่มีรสขมเปลี่ยน

โครงสร้างเป็นลิโมนินซึ่งเป็นสารให้รสขม (อัจฉรา, 2532) ทำให้ปริมาณลิโมนินที่คงเหลือในเปลือกส้มโอเพิ่มขึ้น (รูปที่ 4.2 ค)



รูปที่ 4.2 พื้นที่ตอบสนองของปริมาณลิโมนินที่คงเหลือในเปลือกส้มโอ (mg/100g)

(ก) พีเอชและอุณหภูมิการสกัด (ข) พีเอชและระยะเวลาการสกัด (ค) อุณหภูมิและระยะเวลาการสกัด โดยปัจจัยที่สามในแต่ละกราฟกำหนดให้คงที่ที่จุดกึ่งกลางของช่วงที่ทดสอบ

4.1.3 สถานะที่เหมาะสมในการลดปริมาณนารินจินและลิโมนินจากเปลือกในส้มโอ

เกณฑ์ในการคัดเลือกสถานะที่เหมาะสมในการลดปริมาณนารินจินและลิโมนินจากเปลือกในส้มโอ คือ สถานะที่สามารถลดปริมาณนารินจินและลิโมนินในเปลือกในส้มโอได้มากที่สุด จากรูปที่ 4.1 และ 4.2 จะเห็นได้ว่า อุณหภูมิและระยะเวลาในการสกัดนารินจินและลิโมนินออกจากเปลือกในส้มโอให้ผลในทิศทางตรงกันข้าม โดยการเพิ่มอุณหภูมิและระยะเวลาจะทำให้สกัดนารินจินได้เพิ่มขึ้น แต่จะทำให้ลิโมนินที่สกัดได้มีปริมาณลดลง ดังนั้นจึงต้องหาสถานะที่เหมาะสมในการลดปริมาณสารให้รสขมทั้งสอง โดยพิจารณาจากปริมาณนารินจินและลิโมนินที่คงเหลือในเปลือกในส้มโอ พบว่า เมื่อตั้งช่วงค่าต่ำสุด-ค่าสูงสุดของนารินจินที่ 3.16-61.40 และลิโมนินที่ 0.19-0.89 mg/100g ตามลำดับ ซึ่งเป็นค่าจริงที่ได้จากการทดลอง จะได้แบบจำลองที่มีสถานะที่เหมาะสม คือ พีเอชของสารละลาย 9 อุณหภูมิ 50 องศาเซลเซียส และระยะเวลา 40 นาที หากตั้งช่วงค่าต่ำสุด-ค่าสูงสุดของนารินจินที่ 3.16-70.00 และลิโมนินที่ 0.19-0.30 mg/100 g ตามลำดับ ซึ่งค่าสูงสุดที่กำหนดเป็นปริมาณนารินจินและลิโมนินระดับต่ำสุดที่ผู้ทดสอบสามารถรับรสขมได้ (อรพิน, 2534; Wilson and Crutchfield, 1968) จะได้แบบจำลองที่มีสถานะที่เหมาะสม คือ พีเอชของสารละลาย 7 อุณหภูมิ 60 องศาเซลเซียส และระยะเวลา 20 นาที จากนั้นนำเปลือกในส้มโอที่ผ่านการลดความขมด้วยสถานะที่เหมาะสมที่ได้จากการทำนายทั้งสองสถานะมาทดสอบทางประสาทสัมผัสด้านการรับรสขมและการยอมรับรวม พบว่า เปลือกในส้มโอที่ผ่านการลดความขมทั้งสองสถานะมีคะแนนการรับรสขม และการยอมรับรวม ไม่แตกต่างกันอย่างมีนัยสำคัญทางสถิติ ($p > 0.05$) โดยมีค่าเฉลี่ยด้านการรับรสขมเท่ากับ 3.49 และ 3.87 ตามลำดับ และมีค่าเฉลี่ยด้านการยอมรับรวมเท่ากับ 6.03 และ 5.95 ตามลำดับ (ตารางที่ 4.4) ดังนั้นเมื่อพิจารณาในด้านปริมาณค่าที่ใช้ในการปรับพีเอชของสารละลาย และระยะเวลาในการลดความขม พบว่า สถานะที่เหมาะสมที่สุดในการลดความขมจากเปลือกในส้มโอ คือ พีเอชของสารละลาย 7 อุณหภูมิ 60 องศาเซลเซียส และระยะเวลา 20 นาที ซึ่งทำนายปริมาณนารินจินและลิโมนินที่คงเหลือในเปลือกในส้มโอเป็น 29.25 และ 0.22 mg/100 g ตามลำดับ

ตารางที่ 4.4 คุณภาพทางประสาทสัมผัสของเปลือกในส้มโอที่ผ่านการลดความขม

สถานะในการลดความขม	การรับรสขม ^{ns}	การยอมรับรวม ^{ns}
พีเอช 9, อุณหภูมิ 50°C, เวลา 40 นาที	3.49 ± 1.83	6.03 ± 2.45
พีเอช 7, อุณหภูมิ 60°C, เวลา 20 นาที	3.87 ± 1.97	5.95 ± 2.15

หมายเหตุ: ns หมายถึง ไม่มีความแตกต่างกันอย่างมีนัยสำคัญทางสถิติที่ระดับความเชื่อมั่นร้อยละ 95

4.2 ผลของความเร็วยและระยะเวลาในการบดเปียกที่มีต่อสมบัติของเส้นใยอาหารผงจากเปลือกในส้มโอ

เปลือกในส้มโอที่ผ่านการลดความขม หลังจากนำมาผลิตเป็นเส้นใยอาหารผง พบว่าเส้นใยอาหารผงจากเปลือกในส้มโอมีลักษณะเป็นผงละเอียดสีขาว มีกลิ่นส้มเล็กน้อย และไม่มีรสขม ดังนั้นจึงสามารถนำไปใช้ในผลิตภัณฑ์อาหารได้หลายชนิด โดยไม่กระทบต่อสี กลิ่น และรสชาติของผลิตภัณฑ์อาหารนั้นๆ ผลการศึกษาสมบัติของเส้นใยอาหารผงจากเปลือกในส้มโอมีดังนี้

4.2.1 สมบัติทางกายภาพของเส้นใยอาหารผง

ก) ค่าสี L^*

ค่าสี L^* เป็นค่าความสว่าง ถ้าค่าสี L^* เข้าใกล้ศูนย์ หมายถึง ตัวอย่างสว่างน้อยลงจนเป็นสีดำ ส่วนค่าสี L^* เข้าใกล้ 100 หมายถึง ตัวอย่างสว่างมากจนเป็นสีขาว หรือสีจาง (สุคนธ์ชื่น และวรรณวิบูลย์, 2543) จากตารางที่ 4.5 พบว่า ความเร็วและระยะเวลามีอิทธิพลร่วมต่อความสว่างของค่าสี L^* ของเส้นใยอาหารผงจากเปลือกในส้มโอ โดยการเพิ่มความเร็วและระยะเวลาในการบดเปียก จะทำให้ค่าสี L^* มีแนวโน้มเพิ่มขึ้น แสดงว่า เส้นใยอาหารผงจากเปลือกในส้มโอมีความสว่างมากขึ้น แต่ที่ความเร็วระดับสูง นาน 5 นาที เส้นใยอาหารผงที่ได้มีค่าสี L^* ต่ำกว่าที่ระยะเวลาในการบดเปียกนาน 1 และ 3 นาที เนื่องจากการใช้ความเร็วสูงเป็นเวลานาน ทำให้เส้นใยอาหารผงมีอนุภาคขนาดเล็ก และมีพื้นที่ผิวเพิ่มขึ้น เมื่อนำไปอบแห้ง ความร้อนที่ใช้จะทำให้เส้นใยอาหารผงมีสีคล้ำได้ทั่วถึงมากยิ่งขึ้น เมื่อพิจารณาผลของความเร็วในการบดเปียก พบว่า ความเร็วระดับสูงให้ค่าสี L^* สูงสุด คือ 97.28 ขณะที่การใช้ความเร็วระดับกลางและระดับต่ำมีผลต่อค่าสี L^* ไม่แตกต่างกันอย่างมีนัยสำคัญทางสถิติ ($p > 0.05$) โดยมีค่าเท่ากับ 97.08 และ 97.03 ตามลำดับ ส่วนระยะเวลาในการบดเปียก พบว่า ไม่มีผลต่อค่าสี L^* ($p > 0.05$) จากการศึกษาในครั้งนี้พบว่า ผลิตภัณฑ์เส้นใยอาหารผงจากเปลือกในส้มโอมีค่าสี L^* เฉลี่ยอยู่ระหว่าง 96.94-97.50 ซึ่งมีค่าสูงกว่าเส้นใยอาหารผงจากเปลือกในส้มโอพันธุ์ขาวน้ำผึ้งที่มีค่าเท่ากับ 96.41 (อภิรักษ์, 2549) และเส้นใยอาหารทางการค้าที่มีค่าสี L^* อยู่ในช่วง 85.40-88.50 (Rosell *et al.*, 2009) โดยเฉพาะเส้นใยอาหารผงที่ผ่านการบดเปียกด้วยความเร็วระดับสูง นาน 3 นาที ที่มีค่าสี L^* สูงสุด คือ 97.50 ดังนั้นเส้นใยอาหารผงจากเปลือกในส้มโอ จึงเป็นเส้นใยอาหารผงที่มีคุณภาพดี เนื่องจากมีลักษณะเป็นผงละเอียดสีขาว และมีค่าสี L^* สูง ซึ่งหนึ่งในสมบัติของเส้นใยอาหารที่ดี คือ เส้นใยอาหารต้องไม่มีสี (Pomeranz, 1991)

ดังนั้นเส้นใยอาหารผงจากเปลือกในสั้มโอที่ได้จึงเหมาะสำหรับนำไปใช้ในผลิตภัณฑ์อาหาร เนื่องจากไม่รบกวนสีของผลิตภัณฑ์อาหารที่เติมเส้นใยอาหารลงไป

ข) ค่าสี a^*

ค่าสี a^* เป็นค่าแสดงถึงสีแดงและสีเขียว ถ้าค่าสี a^* เป็นบวก หมายถึง ตัวอย่างเป็นสีแดง ส่วนค่าสี a^* เป็นลบ หมายถึง ตัวอย่างเป็นสีเขียว (สุคนธ์ชื่น และวรรณวิบูลย์, 2543) จากตารางที่ 4.5 พบว่า ความเร็วและระยะเวลาที่มีอิทธิพลร่วมกันต่อค่าสี a^* ของเส้นใยอาหารผงจากเปลือกในสั้มโอ โดยเส้นใยอาหารผงที่ศึกษามีค่าสี a^* อยู่ในช่วง -0.28 ถึง -0.07 ที่ความเร็วระดับเดียวกัน การเพิ่มระยะเวลาทำให้ค่าสี a^* มีแนวโน้มลดลง เนื่องจากการเพิ่มระยะเวลาในการบดเปียกจะทำให้เส้นใยอาหารผงมีขนาดอนุภาคเล็กลง ส่งผลให้การกำจัดรงควัตถุมีประสิทธิภาพดีขึ้น อย่างไรก็ตามเส้นใยอาหารผงจากเปลือกในสั้มโอที่ได้มีค่าสี a^* เป็นลบเล็กน้อย แสดงถึงเส้นใยอาหารผงจากเปลือกในสั้มโอยังคงมีสีเขียวปนอยู่บ้าง ซึ่งอาจเกิดจากขั้นตอนการกำจัดรงควัตถุออกจากวัตถุดิบทำได้ไม่สมบูรณ์พอ โดยเฉพาะคลอโรฟิลล์ซึ่งเป็นรงควัตถุที่พบในเปลือกในสั้มโอ (นิริมา, 2546)

ค) ค่าสี b^*

ค่าสี b^* เป็นค่าแสดงถึงสีเหลืองและสีน้ำเงิน ถ้าค่าสี b^* เป็นบวก หมายถึง ตัวอย่างเป็นสีเหลือง ส่วนค่าสี b^* เป็นลบ หมายถึง ตัวอย่างเป็นสีน้ำเงิน (สุคนธ์ชื่น และวรรณวิบูลย์, 2543) จากตารางที่ 4.5 พบว่า ความเร็วและระยะเวลาที่มีอิทธิพลร่วมกันต่อค่าสี b^* ของเส้นใยอาหารผง จากเปลือกในสั้มโอ โดยเส้นใยอาหารผงที่ศึกษามีค่าสี b^* อยู่ในช่วง 1.90-2.70 ที่ความเร็วระดับเดียวกัน การเพิ่มระยะเวลาทำให้ค่าสี b^* มีแนวโน้มลดลง เนื่องจากการเพิ่มระยะเวลาในการบดเปียกจะทำให้เส้นใยอาหารผงมีขนาดอนุภาคเล็กลง ส่งผลให้ขั้นตอนการกำจัดรงควัตถุ โดยการแช่เปลือกในสั้มโอในสารละลายเอทานอลมีประสิทธิภาพดียิ่งขึ้น อย่างไรก็ตามเส้นใยอาหารผงจากเปลือกในสั้มโอที่ได้มีค่าสี b^* เป็นบวกเล็กน้อย แสดงถึง เส้นใยอาหารผงจากเปลือกในสั้มโอยังคงมีสีเหลืองปนอยู่บ้าง ซึ่งอาจเกิดจากขั้นตอนการกำจัดรงควัตถุออกจากวัตถุดิบทำได้ไม่สมบูรณ์พอ โดยเฉพาะแคโรทีนอยด์ซึ่งเป็นรงควัตถุที่พบในเปลือกในสั้มโอ (นิริมา, 2546)

ตารางที่ 4.5 ผลของความเร็วจะระยะเวลาในการบดเป็ยกที่มีต่อค่าสีของเส้นใยอาหารพวงจากเปลือกในส้มโอ

สิ่งทดลอง	ค่าสี		
	L*	a*	b*
ความเร็วและระยะเวลา			
ระดับต่ำ นาน 1 นาที	97.02 ^{ab} ± 0.17	-0.24 ^{ab} ± 0.08	2.48 ^{dc} ± 0.41
ระดับต่ำ นาน 3 นาที	97.03 ^{ab} ± 0.19	-0.09 ^{cd} ± 0.05	2.21 ^{bc} ± 0.27
ระดับต่ำ นาน 5 นาที	97.03 ^{ab} ± 0.44	-0.07 ^d ± 0.03	2.09 ^{ab} ± 0.18
ระดับกลาง นาน 1 นาที	96.94 ^a ± 0.30	-0.28 ^a ± 0.07	2.70 ^e ± 0.26
ระดับกลาง นาน 3 นาที	97.07 ^{ab} ± 0.18	-0.09 ^{cd} ± 0.17	2.36 ^{cd} ± 0.32
ระดับกลาง นาน 5 นาที	97.23 ^b ± 0.26	-0.10 ^{cd} ± 0.07	2.02 ^{ab} ± 0.20
ระดับสูง นาน 1 นาที	97.29 ^{bc} ± 0.19	-0.17 ^{bc} ± 0.08	1.96 ^{ab} ± 0.25
ระดับสูง นาน 3 นาที	97.50 ^c ± 0.31	-0.17 ^{bc} ± 0.10	1.94 ^{ab} ± 0.15
ระดับสูง นาน 5 นาที	97.04 ^{ab} ± 0.17	-0.12 ^{cd} ± 0.08	1.90 ^a ± 0.23
ความเร็ว			
ระดับต่ำ	97.03 ^a ± 0.28	-0.13 ^{ns} ± 0.09	2.26 ^b ± 0.33
ระดับกลาง	97.08 ^a ± 0.27	-0.16 ^{ns} ± 0.14	2.36 ^b ± 0.38
ระดับสูง	97.28 ^b ± 0.29	-0.15 ^{ns} ± 0.09	1.93 ^a ± 0.21
ระยะเวลา			
1 นาที	97.08 ^{ns} ± 0.27	-0.23 ^a ± 0.12	2.38 ^b ± 0.41
3 นาที	97.20 ^{ns} ± 0.31	-0.12 ^b ± 0.09	2.17 ^a ± 0.33
5 นาที	97.10 ^{ns} ± 0.32	-0.10 ^b ± 0.06	2.00 ^a ± 0.22

หมายเหตุ: - ตัวเลขที่แสดงในตารางเป็นค่าเฉลี่ยจากการวิเคราะห์ 3 ซ้ำ ± ค่าเบี่ยงเบนมาตรฐาน

- ตัวอักษรภาษาอังกฤษที่กำกับค่าของข้อมูลที่แตกต่างกันในแต่ละแนวตั้ง แสดงว่ามีความแตกต่างกันอย่าง

มีนัยสำคัญทางสถิติที่ระดับความเชื่อมั่นร้อยละ 95

- ns หมายถึง ไม่มีความแตกต่างกันอย่างมีนัยสำคัญทางสถิติที่ระดับความเชื่อมั่นร้อยละ 95

ง) ค่าปริมาณผลผลิตที่ได้

ผลของความเร็วจะระยะเวลาในการบดเป็ยกที่มีต่อปริมาณเส้นใยอาหารพวงจากเปลือกในส้มโอที่ผลิตได้ แสดงดังตารางที่ 4.6 พบว่า ความเร็วจะระยะเวลาในการบดเป็ยก

ไม่มีผลต่อปริมาณผลผลิตที่ได้ ($p>0.05$) โดยปริมาณผลผลิตที่ได้มีค่าเฉลี่ยอยู่ระหว่างร้อยละ 10.62-11.09 ซึ่งค่าที่ได้มากกว่าปริมาณผลผลิตที่ได้จากกากสั้เขียวหวาน กากสั้สายน้ำผึ้ง กากสั้สีทอง และเปลือกในสั้โอพันธุ์ขาวน้ำผึ้ง ซึ่งมีค่าเฉลี่ยเท่ากับร้อยละ 7.53, 7.73, 8.51 และ 9.99 ตามลำดับ (อภิรักษ์, 2549) ทั้งนี้อาจเนื่องจากสายพันธุ์ของสั้โอที่ใช้เป็นคนละสายพันธุ์กัน จึงส่งผลต่อปริมาณผลผลิตเส้นใยอาหารผงที่ผลิตได้

ตารางที่ 4.6 ผลของความเร็วและระยะเวลาในการบดเปียกที่มีต่อปริมาณเส้นใยอาหารผงจากเปลือกในสั้โอที่ผลิตได้

สิ่งทดลอง	ปริมาณผลผลิตที่ได้ ^{ns} (ร้อยละ)
ความเร็วและระยะเวลา	
ระดับต่ำ นาน 1 นาที	10.71 ± 0.37
ระดับต่ำ นาน 3 นาที	10.66 ± 0.91
ระดับต่ำ นาน 5 นาที	10.62 ± 0.93
ระดับกลาง นาน 1 นาที	11.09 ± 0.84
ระดับกลาง นาน 3 นาที	10.97 ± 0.78
ระดับกลาง นาน 5 นาที	11.08 ± 0.28
ระดับสูง นาน 1 นาที	11.04 ± 0.63
ระดับสูง นาน 3 นาที	10.84 ± 0.76
ระดับสูง นาน 5 นาที	10.92 ± 0.38
ความเร็ว	
ระดับต่ำ	10.66 ± 0.68
ระดับกลาง	11.05 ± 0.59
ระดับสูง	10.93 ± 0.54
ระยะเวลา	
1 นาที	10.95 ± 0.59
3 นาที	10.82 ± 0.72
5 นาที	10.88 ± 0.56

หมายเหตุ : - ตัวเลขที่แสดงในตารางเป็นค่าเฉลี่ยจากการวิเคราะห์ 3 ซ้ำ ± ค่าเบี่ยงเบนมาตรฐาน

- ns หมายถึง ไม่มีความแตกต่างกันอย่างมีนัยสำคัญทางสถิติที่ระดับความเชื่อมั่นร้อยละ 95

จ) ค่าความสามารถในการอุ้มน้ำ

ความสามารถในการอุ้มน้ำ (water holding capacity, WHC) หมายถึง ปริมาณน้ำที่คงเหลือ อยู่ภายในเส้นใยอาหารภายใต้อุณหภูมิ ระยะเวลาในการแช่ และเวลาและความเร็วในการปั่นเหวี่ยง ที่กำหนด (Elleuch *et al.*, 2011) จากตารางที่ 4.7 พบว่า ความเร็วและระยะเวลาในการ บดเปียกมี อิทธิพลร่วมต่อความสามารถในการอุ้มน้ำไปในทิศทางเดียวกัน โดยการเพิ่มความเร็วและระยะเวลา จะทำให้ค่าความสามารถในการอุ้มน้ำของเส้นใยอาหารผงจากเปลือกในส้มโอ มีแนวโน้มลดลง ที่ความเร็วระดับกลาง นาน 1 นาที ค่าความสามารถในการอุ้มน้ำมีค่าสูงสุด คือ 15.69 กรัม/น้ำต่อ กรัมตัวอย่างแห้ง ($p \leq 0.05$) รองลงมา คือ ความเร็วระดับกลาง นาน 3 นาที และความเร็วระดับต่ำ นาน 3 และ 1 นาที ซึ่งมีค่าความสามารถในการอุ้มน้ำไม่แตกต่างกันอย่างมีนัยสำคัญทางสถิติ ($p > 0.05$) โดยมีค่าเท่ากับ 15.28, 15.19 และ 15.09 กรัม/น้ำต่อกรัมตัวอย่างแห้ง ตามลำดับ ส่วน ความเร็วระดับสูง นาน 5 นาที ค่าความสามารถในการอุ้มน้ำมีค่าต่ำสุด คือ 13.65 กรัม/น้ำต่อกรัม ตัวอย่างแห้ง ($p \leq 0.05$) เนื่องจากความสามารถในการอุ้มน้ำของเส้นใยอาหารขึ้นอยู่กับ แหล่งของ เส้นใยอาหาร กระบวนการผลิตเส้นใยอาหาร ขนาดอนุภาค และอัตราส่วนระหว่างเส้นใยอาหารที่ ไม่ละลายน้ำและที่ละลายน้ำ โดยเฉพาะอย่างยิ่งปริมาณเส้นใยอาหารที่ละลายน้ำ (พัชรภรณ์, 2550; Grigelmo-Miguel and Martin-Belloso, 1999a; Figuerola *et al.*, 2005) เส้นใยอาหารผงจากเปลือก ในส้มโอที่ผ่านการบดเปียกด้วยความเร็วสูงเป็นเวลานาน ทำให้มีอนุภาคมีขนาดเล็ก จึงสูญเสีย องค์ประกอบของเส้นใยอาหารที่ละลายน้ำในขั้นตอนการล้างได้มากกว่า ส่งผลให้เส้นใยอาหารผง จากเปลือกในส้มโอมีความสามารถในการอุ้มน้ำลดลง นอกจากนี้ในขั้นตอนการบดอาจส่งผลต่อ ความสามารถในการอุ้มน้ำของเส้นใยอาหารผง โดยทำให้มีค่าเพิ่มขึ้นหรือลดลงก็ได้ ทั้งนี้ขึ้นอยู่กับ ขนาดอนุภาค (Elleuch *et al.*, 2011) ซึ่งการบดจะทำให้เส้นใยอาหารผงมีขนาดอนุภาคเล็กลง มีพื้นที่ผิวและปริมาณรูพรุนเพิ่มขึ้น ทำให้ความสามารถในการอุ้มน้ำเพิ่มขึ้น แต่ถ้าขนาดอนุภาคเล็ก เกินไป อาจเกิดความเสียหายกับโครงสร้างที่เป็น matrix ทำให้เกิดการยุบตัวของรูพรุน ส่งผลให้ ความสามารถในการอุ้มน้ำของเส้นใยอาหารลดลง ซึ่งสอดคล้องกับงานวิจัยของ Cadden (1987) ที่ พบว่า การลดขนาดอนุภาคมีผลต่อโครงสร้างทางกายภาพของเส้นใยอาหารแต่ละชนิดแตกต่างกัน โดยการลดขนาดอนุภาคของรำข้าวสาลี ทำให้ความสามารถในการอุ้มน้ำลดลง แต่การลดขนาด อนุภาคของ ข้าวโอ๊ต และ microcrystalline cellulose ซึ่งไม่มีโครงสร้างเป็น matrix ทำให้มีพื้นที่ผิว เพิ่มขึ้น จึงมีความสามารถในการอุ้มน้ำเพิ่มขึ้น เช่นเดียวกับ Raghavendra *et al.*, (2006) ซึ่งพบว่า การลดขนาดอนุภาคของเส้นใยอาหารจากมะพร้าวจาก 1,127 ไมโครเมตร เป็น 550 ไมโครเมตร จะทำให้สมบัติในการจับกับน้ำเพิ่มขึ้น แต่ถ้าลดขนาดอนุภาคให้เล็กลงกว่านี้ จะทำให้สมบัติในการ จับกับน้ำลดลง จากการศึกษาในครั้งนี้พบว่า เส้นใยอาหารผงจากเปลือกในส้มโอมีความสามารถ

ในการอุ้มน้ำสูงกว่าเส้นใยอาหารจากแหล่งต่างๆ เช่น เปลือกมะม่วง พืช แอปเปิล แคนสับปะรด เปลือกส้มเขียวหวาน ข้าวโอ๊ต ถั่วเหลือง มะพร้าว กากส้มเขียวหวาน แครอท และข้าวโพด เป็นต้น (ตารางที่ 4.8) ดังนั้นเส้นใยอาหารผงจากเปลือกในส้มโอ จึงมีความเหมาะสมสำหรับนำไปใช้ในผลิตภัณฑ์อาหารที่เป็นอิมัลชัน (emulsion) เพื่อลดการแยกตัวของน้ำออกจากผลิตภัณฑ์ (Elleuch *et al.*, 2011) และช่วยปรับปรุงเนื้อสัมผัสให้กับผลิตภัณฑ์อาหาร โดยเฉพาะผลิตภัณฑ์อาหารที่ต้องการความชุ่มชื้น เช่น ผลิตภัณฑ์ไอศกรีม ผลิตภัณฑ์แยม เป็นต้น (นพรัตน์ และสุทธิณีย์, 2551; Grigelmo-Miguel and Martin-Belloso, 2000)

ฉ) ค่าความสามารถในการอุ้มน้ำมัน

ความสามารถในการอุ้มน้ำมัน (oil holding capacity, OHC) หมายถึง ปริมาณน้ำมันที่คงเหลืออยู่ในเส้นใยอาหารหลังผ่านการผสม (mixing) การบ่ม (incubation) ด้วยน้ำมัน และนำไปปั่นเหวี่ยง (centrifugation) (Elleuch *et al.*, 2011) จากตารางที่ 4.7 พบว่า ความเร็วและระยะเวลาในการบดเปียกมีอิทธิพลร่วมต่อความสามารถในการอุ้มน้ำมันไปในทิศทางเดียวกัน โดยการเพิ่มความเร็วและระยะเวลา จะทำให้ค่าความสามารถในการอุ้มน้ำมันของเส้นใยอาหารผงจากเปลือกในส้มโอมีแนวโน้มเพิ่มขึ้น ที่ความเร็วระดับสูง นาน 5 นาที ค่าความสามารถในการอุ้มน้ำมันมีค่าสูงสุด คือ 2.51 กรัมไขมันต่อกรัมตัวอย่างแห้ง ($p \leq 0.05$) ส่วนความเร็วระดับต่ำ นาน 1 นาที ค่าความสามารถในการอุ้มน้ำมันมีค่าต่ำสุด คือ 2.09 กรัมไขมันต่อกรัมตัวอย่างแห้ง ($p \leq 0.05$) ที่เป็นเช่นนี้เนื่องจากการบดเปียกและบดแห้งเส้นใยอาหารผงจากเปลือกในส้มโอ ทำให้เส้นใยอาหารผงมีขนาดอนุภาคเล็กลง มีพื้นที่ผิวและปริมาตรรูพรุนเพิ่มขึ้น ทั้งยังเกิดการจัดเรียงตัวที่ดีของอนุภาคของเส้นใยอาหาร จึงส่งผลให้ความสามารถในการอุ้มน้ำมันของเส้นใยอาหารเพิ่มขึ้น (พัชรภรณ์, 2550; Larrauri, 1999; Raghavendra *et al.*, 2006) ซึ่งสอดคล้องกับงานวิจัยของ Raghavendra *et al.* (2006) ที่พบว่า การลดขนาดอนุภาคของเส้นใยอาหารจากมะพร้าวจาก 1,127 ไมโครเมตร เป็น 390 ไมโครเมตร จะทำให้ความสามารถในการอุ้มน้ำมันเพิ่มขึ้น จากการศึกษาในครั้งนี้ พบว่า เส้นใยอาหารผงจากเปลือกในส้มโอมีค่าความสามารถในการอุ้มน้ำมันสูงกว่าเส้นใยอาหารจากแหล่งอื่นๆ เช่น แอปเปิล พืช แครอท มะม่วง เปลือกส้มเขียวหวาน กากส้มเขียวหวาน กากส้มสายน้ำผึ้ง กากส้มสีทอง เปลือกในส้มโอพันธุ์ขาวน้ำผึ้ง เป็นต้น (ตารางที่ 4.9) ดังนั้นเส้นใยอาหารผงจากเปลือกในส้มโอ จึงมีความเหมาะสมสำหรับนำไปใช้เป็นส่วนผสมเพื่อเพิ่มความคงตัว (stabilization) ในผลิตภัณฑ์อาหารที่มีไขมันสูง (Elleuch *et al.*, 2011) และผลิตภัณฑ์อาหารที่เป็นอิมัลชัน เช่น ผลิตภัณฑ์นม ผลิตภัณฑ์ขนมอบ และผลิตภัณฑ์ไส้กรอกอิมัลชัน เป็นต้น (นพรัตน์ และสุทธิณีย์, 2551; ปิยะรัชช์ และคณะ, 2553; Garcia *et al.*, 2002; Fernández-Ginés *et al.*, 2004)

ตารางที่ 4.7 ผลของความเร็วและระยะเวลาในการบดเปียกที่มีต่อค่าความสามารถในการอุ้มน้ำและอุ้มน้ำมันของเส้นใยอาหารผงจากเปลือกในสั้มโอ

สิ่งทดลอง	ค่าความสามารถในการอุ้มน้ำ (กรัมน้ำต่อกรัมตัวอย่างแห้ง)	ค่าความสามารถในการอุ้มน้ำมัน (กรัมน้ำมันต่อกรัมตัวอย่างแห้ง)
ความเร็วและระยะเวลา		
ระดับต่ำ นาน 1 นาที	15.09 ^d ± 0.19	2.09 ^a ± 0.06
ระดับต่ำ นาน 3 นาที	15.19 ^d ± 0.15	2.21 ^b ± 0.12
ระดับต่ำ นาน 5 นาที	14.37 ^{bc} ± 0.32	2.32 ^c ± 0.04
ระดับกลาง นาน 1 นาที	15.69 ^c ± 0.35	2.34 ^{cd} ± 0.06
ระดับกลาง นาน 3 นาที	15.28 ^d ± 0.25	2.36 ^{cd} ± 0.07
ระดับกลาง นาน 5 นาที	14.06 ^b ± 0.05	2.42 ^d ± 0.08
ระดับสูง นาน 1 นาที	14.53 ^c ± 0.34	2.38 ^{cd} ± 0.05
ระดับสูง นาน 3 นาที	14.34 ^{bc} ± 0.31	2.39 ^{cd} ± 0.08
ระดับสูง นาน 5 นาที	13.65 ^a ± 0.21	2.51 ^c ± 0.08
ความเร็ว		
ระดับต่ำ	14.88 ^b ± 0.44	2.20 ^a ± 0.12
ระดับกลาง	15.01 ^b ± 0.75	2.37 ^b ± 0.08
ระดับสูง	14.17 ^a ± 0.48	2.43 ^c ± 0.09
ระยะเวลา		
1 นาที	15.10 ^b ± 0.56	2.27 ^a ± 0.14
3 นาที	14.94 ^b ± 0.50	2.32 ^b ± 0.12
5 นาที	14.03 ^a ± 0.37	2.42 ^c ± 0.11

หมายเหตุ: - ตัวเลขที่แสดงในตารางเป็นค่าเฉลี่ยจากการวิเคราะห์ 3 ซ้ำ ± ค่าเบี่ยงเบนมาตรฐาน

- ตัวอักษรภาษาอังกฤษที่กำกับค่าของข้อมูลที่แตกต่างกันในแต่ละแนวตั้ง แสดงว่ามีความแตกต่างกันอย่างมีนัยสำคัญทางสถิติที่ระดับความเชื่อมั่นร้อยละ 95

ตารางที่ 4.8 ค่าความสามารถในการอุ้มน้ำของเส้นใยอาหารผงจากแหล่งต่างๆ

วัตถุดิบที่ใช้ผลิตเส้นใยอาหารผง	ความสามารถในการอุ้มน้ำ (กรัมน้ำต่อกรัมน้ำหนักแห้ง)	แหล่งอ้างอิง
เปลือกมะม่วง	11.40	Larrauri <i>et al.</i> (1996)
พืช	3.50	Thebaudin <i>et al.</i> (1997)
แกนสับปะรด	12.16	Prakongpan <i>et al.</i> (2002)
เปลือกส้มเขียวหวาน	11.96	นิธิมา (2546)
ข้าวโอ๊ต	1.28	คัดแปลงจาก สีขรินทร์ และปราณี (2546)
ถั่วเหลือง	2.17	คัดแปลงจาก สีขรินทร์ และปราณี (2546)
มะพร้าว	7.11	Raghavendra <i>et al.</i> (2006)
แอปเปิล	6.12	Rosell <i>et al.</i> (2009)
กากส้มเขียวหวาน	13.36	อภิรักษ์ (2549)
แครอท	13.46	นพรัตน์ และสุทธินีย์ (2551)
ข้าวโพด	4.28	นพรัตน์ และสุทธินีย์ (2551)

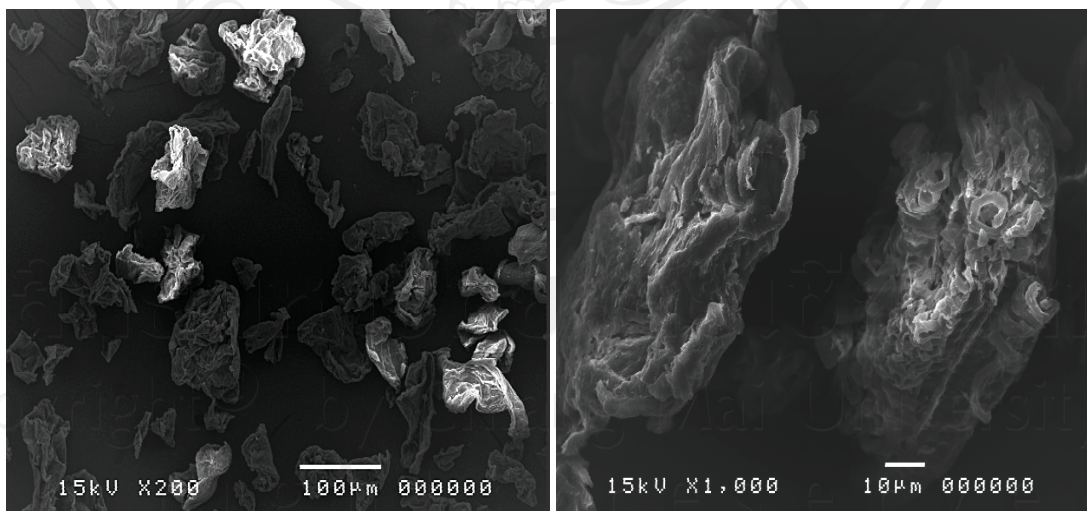
ตารางที่ 4.9 ค่าความสามารถในการอุ้มน้ำมันของเส้นใยอาหารผงจากแหล่งต่างๆ

วัตถุดิบที่ใช้ผลิตเส้นใยอาหารผง	ความสามารถในการอุ้มน้ำมัน (กรัมไขมันต่อกรัมน้ำหนักแห้ง)	แหล่งอ้างอิง
แอปเปิล	1.30	Thebaudin <i>et al.</i> (1997)
พืช	1.09	Grigelmo-Miguel and Martin-Belloso (1999a)
แครอท	1.92	Chau <i>et al.</i> (2007)
มะม่วง	1.00	Vergara-Valencia <i>et al.</i> (2007)
เปลือกส้มเขียวหวาน	1.67	นิธิมา (2546)
กากส้มเขียวหวาน	2.01	อภิรักษ์ (2549)
กากส้มสายน้ำผึ้ง	1.77	อภิรักษ์ (2549)
กากส้มสีทอง	1.80	อภิรักษ์ (2549)
เปลือกในส้มโอพันธุ์ขาวน้ำผึ้ง	2.02	อภิรักษ์ (2549)

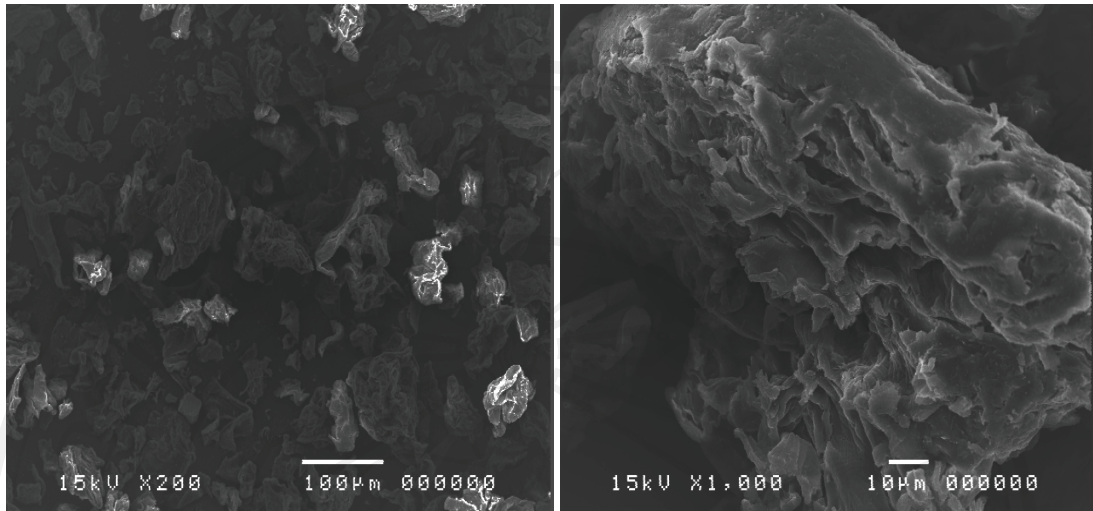
ช) ลักษณะโครงสร้างระดับจุลภาค

นำเส้นใยอาหารผงจากเปลือกในส้มโอมาศึกษาลักษณะโครงสร้างระดับจุลภาคด้วยเครื่องจุลทรรศน์อิเล็กตรอนแบบส่องกราด (scanning electron microscope, SEM) เพื่อตรวจลักษณะอนุภาคและพื้นผิว ผลที่ได้แสดงดังรูปที่ 4.3-4.11

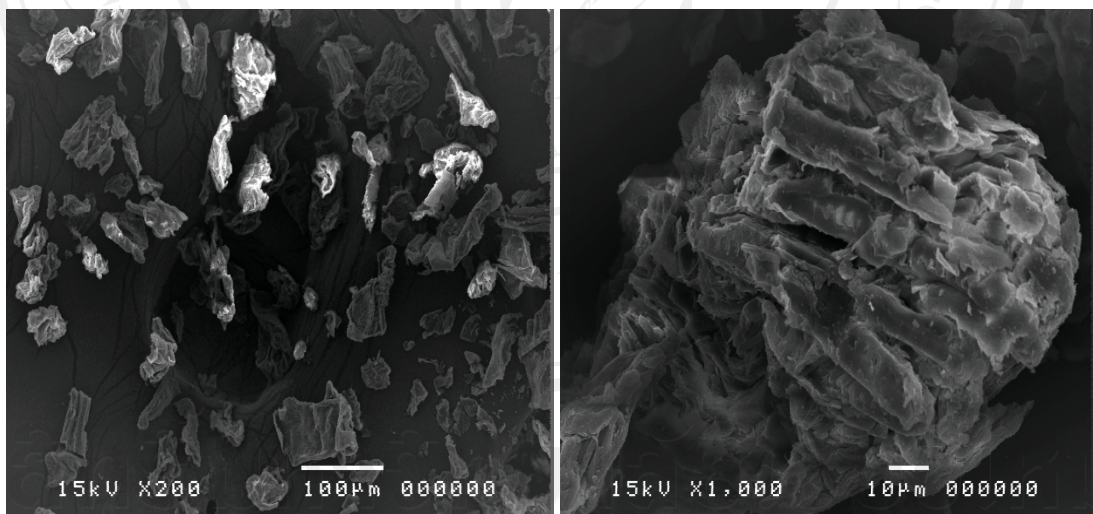
จากรูปถ่ายเส้นใยอาหารผงจากเปลือกในส้มโอที่ผ่านการบดเปียกด้วยความเร็วและระยะเวลาต่างกัน พบว่าเส้นใยอาหารผงจากเปลือกในส้มโอที่ผลิตได้ ส่วนใหญ่มีลักษณะเป็นก้อน (lump) และเป็นแผ่น (sheet) โดยมีขนาดไม่สม่ำเสมอ เมื่อขยายขนาดของรูปเป็น 1,000 เท่า (รูปที่ 4.3-4.11 ด้านขวา) ทำให้เห็น โครงสร้างของเส้นใยอาหารผงชัดเจนขึ้น โดยพบว่าเส้นใยอาหารผงจากเปลือกในส้มโอมีพื้นผิวขรุขระ และมีโครงสร้างเป็นรูพรุน ซึ่งการที่เส้นใยอาหารผงจากเปลือกในส้มโอมีโครงสร้างเป็นรูพรุน อาจเป็นสาเหตุหนึ่งที่ทำให้เส้นใยอาหารผงจากเปลือกในส้มโอมีความสามารถในการอุ้มน้ำและอุ้มน้ำมันสูงกว่าเมื่อเทียบกับเส้นใยอาหารจากแหล่งอื่นๆ เมื่อพิจารณาผลของความเร็วจบและระยะเวลาในการบดเปียกที่มีต่อลักษณะโครงสร้างของเส้นใยอาหารผง พบว่า การเพิ่มความเร็วจบและระยะเวลาในการบดเปียก จะทำให้เส้นใยอาหารผงจากเปลือกในส้มโอมีขนาดอนุภาคเล็กลง (รูปที่ 4.3-4.11 ด้านซ้าย)



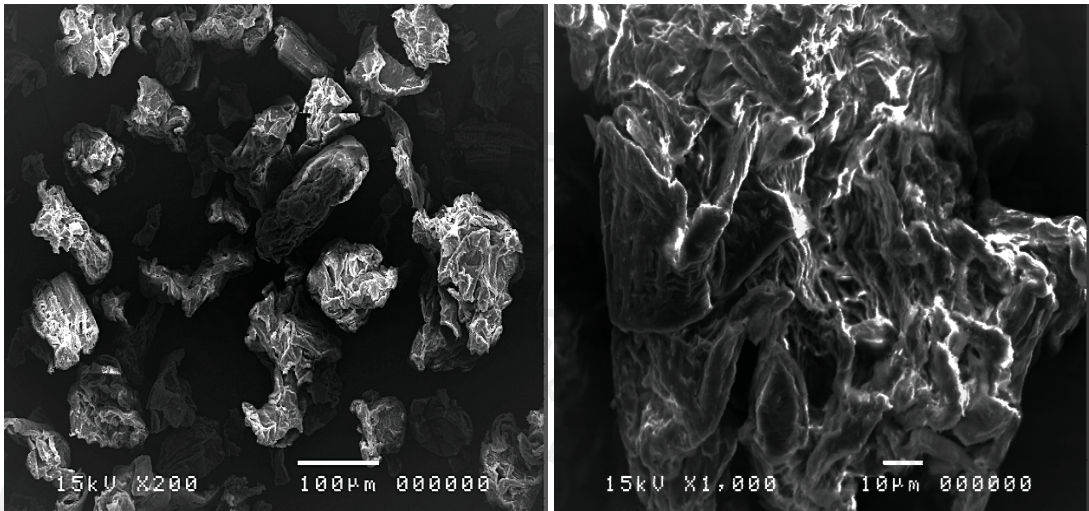
รูปที่ 4.3 เส้นใยอาหารผงจากเปลือกในส้มโอที่บดเปียกด้วยความเร็วระดับต่ำ นาน 1 นาที
(รูปซ้าย) กำลังขยาย 200 เท่า; (รูปขวา) กำลังขยาย 1,000 เท่า



รูปที่ 4.4 เส้นใยอาหารผงจากเปลือกในส้มโอที่บดเปียกด้วยความเร็วระดับต่ำ นาน 3 นาที
(รูปซ้าย) กำลังขยาย 200 เท่า; (รูปขวา) กำลังขยาย 1,000 เท่า



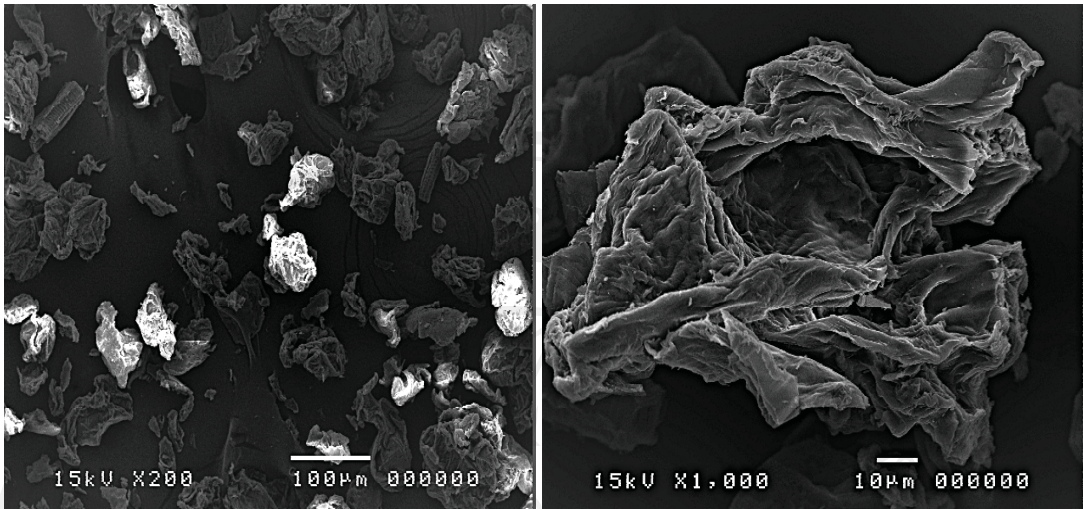
รูปที่ 4.5 เส้นใยอาหารผงจากเปลือกในส้มโอที่บดเปียกด้วยความเร็วระดับต่ำ นาน 5 นาที
(รูปซ้าย) กำลังขยาย 200 เท่า; (รูปขวา) กำลังขยาย 1,000 เท่า



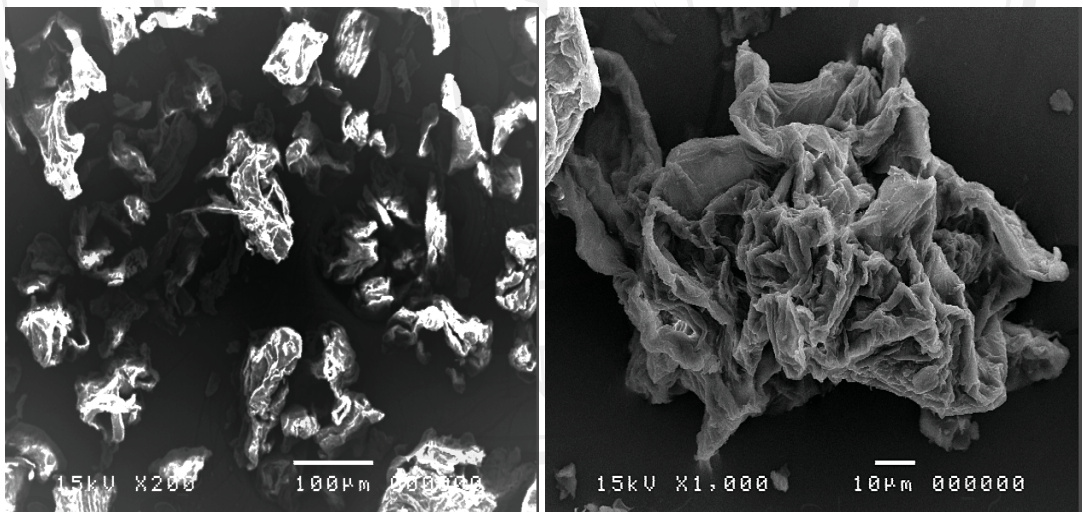
รูปที่ 4.6 เส้นใยอาหารผงจากเปลือกในส้มโอที่บดเปียกด้วยความเร็วระดับกลาง นาน 1 นาที
(รูปซ้าย) กำลังขยาย 200 เท่า; (รูปขวา) กำลังขยาย 1,000 เท่า



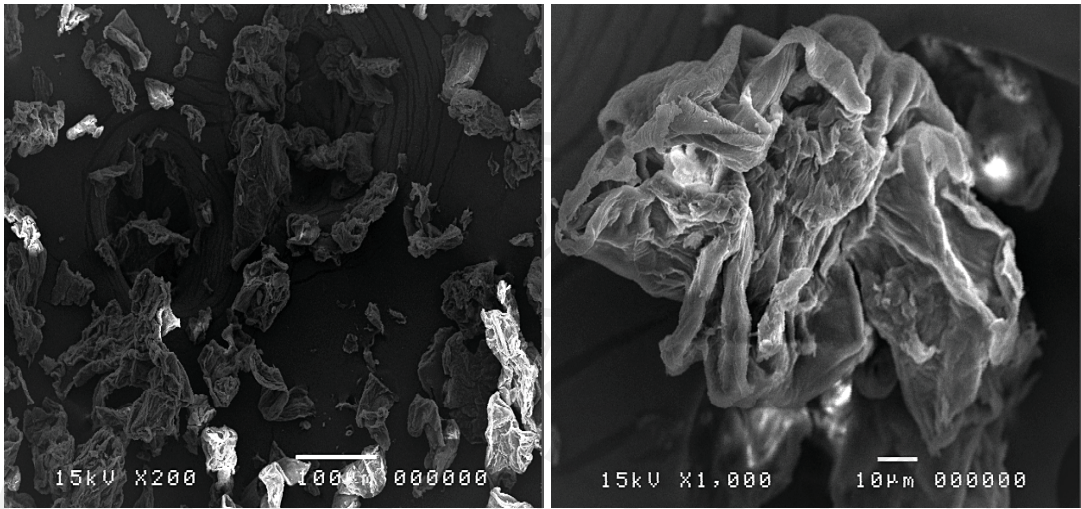
รูปที่ 4.7 เส้นใยอาหารผงจากเปลือกในส้มโอที่บดเปียกด้วยความเร็วระดับกลาง นาน 3 นาที
(รูปซ้าย) กำลังขยาย 200 เท่า; (รูปขวา) กำลังขยาย 1,000 เท่า



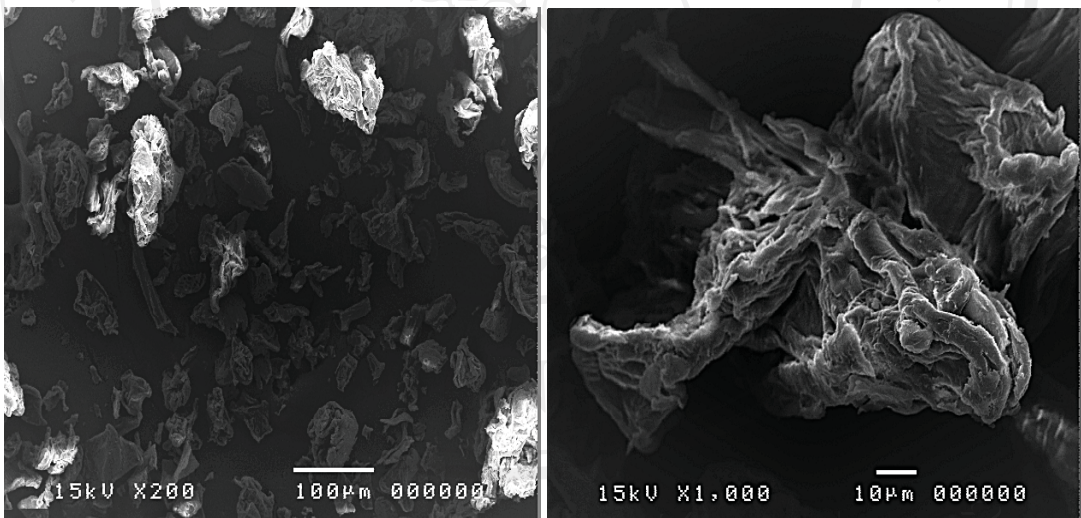
รูปที่ 4.8 เส้นใยอาหารผงจากเปลือกในส้มโอที่บดเป็ยกด้วยความเร็วระดับกลาง นาน 5 นาที
(รูปซ้าย) กำลังขยาย 200 เท่า; (รูปขวา) กำลังขยาย 1,000 เท่า



รูปที่ 4.9 เส้นใยอาหารผงจากเปลือกในส้มโอที่บดเป็ยกด้วยความเร็วระดับสูง นาน 1 นาที
(รูปซ้าย) กำลังขยาย 200 เท่า; (รูปขวา) กำลังขยาย 1,000 เท่า



รูปที่ 4.10 เส้นใยอาหารผงจากเปลือกในส้อมโอที่บดเป็ยกด้วยความเร็วระดับสูง นาน 3 นาที
(รูปซ้าย) กำลังขยาย 200 เท่า; (รูปขวา) กำลังขยาย 1,000 เท่า



รูปที่ 4.11 เส้นใยอาหารผงจากเปลือกในส้อมโอที่บดเป็ยกด้วยความเร็วระดับสูง นาน 5 นาที
(รูปซ้าย) กำลังขยาย 200 เท่า; (รูปขวา) กำลังขยาย 1,000 เท่า

4.2.2 สมบัติทางเคมีของเส้นใยอาหารผง

ก) ค่าวอเตอร์แอกติวิตี้

ค่าวอเตอร์แอกติวิตี้ (water activity, a_w) เป็นปัจจัยสำคัญที่มีอิทธิพลอย่างมากต่อคุณภาพและการเน่าเสียของผลิตภัณฑ์อาหาร เพราะค่าวอเตอร์แอกติวิตี้ และปริมาณความชื้นในผลิตภัณฑ์อาหาร จะทำให้เกิดการเปลี่ยนแปลงของปฏิกิริยาทางเคมีหรือมีการเจริญของจุลินทรีย์เกิดขึ้น ซึ่งเป็นสาเหตุที่ทำให้ผลิตภัณฑ์อาหารเน่าเสีย (นิธิยา, 2549) จากตารางที่ 4.10 จะเห็นได้ว่าเส้นใยอาหารผงจากเปลือกในส้มโอมีค่าวอเตอร์แอกติวิตี้เฉลี่ยอยู่ระหว่าง 0.185-0.214 การที่มีค่าวอเตอร์แอกติวิตี้ต่ำจะช่วยยืดอายุการเก็บรักษาผลิตภัณฑ์อาหารให้นานขึ้น เนื่องจากสามารถลดหรือยับยั้งการเกิดปฏิกิริยาเคมีและการเจริญของจุลินทรีย์ โดยจุลินทรีย์ทุกชนิดจะหยุดการเจริญเมื่อผลิตภัณฑ์อาหารมีค่าวอเตอร์แอกติวิตี้เท่ากับหรือต่ำกว่า 0.6 (นิธิยา, 2549)

ข) ปริมาณความชื้น

ผลของความเร็วและระยะเวลาในการบดเปียกที่มีต่อปริมาณความชื้นของเส้นใยอาหารผงจากเปลือกในส้มโอ แสดงดังตารางที่ 4.11 พบว่า ความเร็วและระยะเวลาในการบดเปียกไม่มีผลต่อปริมาณความชื้นของเส้นใยอาหารผงที่ได้ ($p>0.05$) โดยปริมาณความชื้นมีค่าเฉลี่ยอยู่ระหว่างร้อยละ 7.61-8.26 ซึ่งค่าที่ได้มากกว่าปริมาณความชื้นของเส้นใยอาหารผงจากกากส้มเขียวหวาน กากส้มสายน้ำผึ้ง กากส้มสีทอง และเปลือกในส้มโอพันธุ์ขาวน้ำผึ้ง ซึ่งมีค่าเฉลี่ยเท่ากับร้อยละ 5.20, 5.22, 5.67 และ 5.63 ตามลำดับ (อภิรักษ์, 2549) อย่างไรก็ตามปริมาณความชื้นของเส้นใยอาหารผงจากการศึกษาครั้งนี้ยังอยู่ในเกณฑ์ปริมาณความชื้นของเส้นใยอาหารผงที่ผลิตในทางการค้า คือปริมาณความชื้นต่ำกว่าร้อยละ 9 (Larrauri, 1999) ซึ่งน่าจะมีส่วนช่วยลดการเจริญของเชื้อจุลินทรีย์ และทำให้เส้นใยอาหารผงที่ผลิตได้มีอายุการเก็บรักษานานขึ้น

ค) ค่าความเป็นกรด-ด่าง

ผลของความเร็วและระยะเวลาในการบดเปียกที่มีต่อค่าความเป็นกรด-ด่างของเส้นใยอาหารผงจากเปลือกในส้มโอ แสดงดังตารางที่ 4.11 พบว่า ความเร็วและระยะเวลาในการบดเปียกไม่มีผลต่อค่าความเป็นกรด-ด่างของเส้นใยอาหารผงที่ได้ ($p>0.05$) โดยค่าความเป็นกรด-ด่างมีค่าเฉลี่ยอยู่ระหว่าง 5.08-5.10 แสดงว่า เส้นใยอาหารผงจากเปลือกในส้มโอมีค่าก่อนมาทางกรด ดังนั้นการนำเส้นใยอาหารผงจากเปลือกในส้มโอไปใช้ในผลิตภัณฑ์อาหาร จึงอาจส่งผลกระทบต่อค่าความเป็นกรด-ด่างของผลิตภัณฑ์อาหารที่เสริมเส้นใยอาหารผงจากเปลือกในส้มโอลงไป

อย่างไรก็ตามค่าความเป็นกรด-ด่างของเส้นใยอาหารผง จากการศึกษาในครั้งนี้มีค่าสูงกว่าเส้นใยอาหารผงจากกากส้มเขียวหวาน และเปลือกในส้มโอพันธุ์ขาวน้ำผึ้ง ซึ่งมีค่าเฉลี่ยเท่ากับร้อยละ 4.85 และ 5.07 ตามลำดับ แต่มีค่าต่ำกว่าเส้นใยอาหารผงจากกากส้มสายน้ำผึ้ง และกากส้มสีทอง ซึ่งมีค่าเฉลี่ยเท่ากับร้อยละ 5.41 และ 5.34 ตามลำดับ (อภิรักษ์, 2549)

ตารางที่ 4.10 ผลของความเร็วและระยะเวลาในการบดเปียกที่มีต่อค่าวอเตอร์แอกติวิตี้ของเส้นใยอาหารผงจากเปลือกในส้มโอ

สิ่งทดลอง	ค่าวอเตอร์แอกติวิตี้
ความเร็วและระยะเวลา	
ระดับต่ำ นาน 1 นาที	0.207 ^{bc} ± 0.007
ระดับต่ำ นาน 3 นาที	0.178 ^a ± 0.017
ระดับต่ำ นาน 5 นาที	0.185 ^a ± 0.014
ระดับกลาง นาน 1 นาที	0.197 ^b ± 0.010
ระดับกลาง นาน 3 นาที	0.185 ^a ± 0.008
ระดับกลาง นาน 5 นาที	0.214 ^c ± 0.021
ระดับสูง นาน 1 นาที	0.207 ^{bc} ± 0.003
ระดับสูง นาน 3 นาที	0.208 ^{bc} ± 0.014
ระดับสูง นาน 5 นาที	0.204 ^{bc} ± 0.004
ความเร็ว	
ระดับต่ำ	0.190 ^a ± 0.02
ระดับกลาง	0.199 ^b ± 0.02
ระดับสูง	0.206 ^c ± 0.01
ระยะเวลา	
1 นาที	0.204 ^b ± 0.01
3 นาที	0.190 ^a ± 0.02
5 นาที	0.201 ^b ± 0.02

หมายเหตุ: - ตัวเลขที่แสดงในตารางเป็นค่าเฉลี่ยจากการวิเคราะห์ 3 ซ้ำ ± ค่าเบี่ยงเบนมาตรฐาน

- ตัวอักษรภาษาอังกฤษที่กำกับค่าของข้อมูลที่แตกต่างกันในแต่ละแนวตั้ง แสดงว่ามีความแตกต่างกันอย่างนัยสำคัญทางสถิติที่ระดับความเชื่อมั่นร้อยละ 95

ตารางที่ 4.11 ผลของความเร็วและระยะเวลาในการบดเปียกที่มีต่อปริมาณความชื้นและความเป็นกรด-ด่างของเส้นใยอาหารผงจากเปลือกในสั้มโอ

สิ่งทดลอง	ปริมาณความชื้น ^{ns} (ร้อยละ)	ค่าความเป็นกรด-ด่าง ^{ns}
ความเร็วและระยะเวลา		
ระดับต่ำ นาน 1 นาที	7.61 ± 0.05	5.08 ± 0.02
ระดับต่ำ นาน 3 นาที	7.73 ± 0.23	5.10 ± 0.04
ระดับต่ำ นาน 5 นาที	8.02 ± 0.21	5.11 ± 0.03
ระดับกลาง นาน 1 นาที	7.81 ± 0.03	5.10 ± 0.04
ระดับกลาง นาน 3 นาที	7.92 ± 0.05	5.08 ± 0.03
ระดับกลาง นาน 5 นาที	8.26 ± 0.14	5.08 ± 0.02
ระดับสูง นาน 1 นาที	7.84 ± 0.08	5.10 ± 0.02
ระดับสูง นาน 3 นาที	7.72 ± 0.01	5.08 ± 0.02
ระดับสูง นาน 5 นาที	8.09 ± 0.20	5.11 ± 0.02
ความเร็ว		
ระดับต่ำ	7.79 ± 0.24	5.10 ± 0.03
ระดับกลาง	8.00 ± 0.22	5.09 ± 0.03
ระดับสูง	7.88 ± 0.19	5.09 ± 0.03
ระยะเวลา		
1 นาที	7.75 ± 0.12	5.09 ± 0.03
3 นาที	7.79 ± 0.15	5.09 ± 0.03
5 นาที	8.12 ± 0.19	5.10 ± 0.03

หมายเหตุ : - ตัวเลขที่แสดงในตารางเป็นค่าเฉลี่ยจากการวิเคราะห์ 3 ซ้ำ ± ค่าเบี่ยงเบนมาตรฐาน

- ns หมายถึง ไม่มีความแตกต่างกันอย่างมีนัยสำคัญทางสถิติที่ระดับความเชื่อมั่นร้อยละ 95

ง) ปริมาณเส้นใยอาหาร

กระบวนการเตรียมวัตถุดิบในการผลิตเส้นใยอาหารผง ประกอบด้วย การบดเปียก ซึ่งเป็นขั้นตอนที่สำคัญในการลดขนาดวัตถุดิบ การล้างด้วยน้ำอุณหภูมิ 95 องศาเซลเซียส การแช่ในสารละลายเอทานอล การทำแห้ง และการบดแห้ง โดยขั้นตอนเหล่านี้จะช่วยกำจัดองค์ประกอบที่ไม่ต้องการ เช่น โปรตีน ไขมัน คาร์โบไฮเดรต รงควัตถุ รวมทั้งสารที่มีโมเลกุลขนาดเล็กที่ละลายน้ำ

อื่นๆ ออกจากเส้นใยอาหาร (Larrauri, 1999; ธนิกานต์, 2549) ส่งผลให้สัดส่วนของเส้นใยอาหารที่ไม่ละลายน้ำและละลายน้ำสูงขึ้น จากตารางที่ 4.12 จะเห็นได้ว่า ความเร็วและระยะเวลาในการบดเปียกไม่มีอิทธิพลร่วมต่อปริมาณเส้นใยอาหารที่ไม่ละลายน้ำและเส้นใยอาหารทั้งหมด แต่มีอิทธิพลร่วมต่อปริมาณเส้นใยอาหารที่ละลายน้ำ โดยระยะเวลาไม่มีผลต่อปริมาณเส้นใยอาหารที่ไม่ละลายน้ำ เส้นใยอาหารที่ละลายน้ำ และเส้นใยอาหารทั้งหมด ($p>0.05$) ขณะที่ความเร็วในการบดเปียกมีผลต่อปริมาณเส้นใยอาหารแตกต่างกัน การเพิ่มความเร็วจะทำให้ปริมาณเส้นใยอาหารทั้งหมดไม่แตกต่างกันอย่างมีนัยสำคัญทางสถิติ ($p>0.05$) แต่การเพิ่มความเร็วจะทำให้เส้นใยอาหารที่ไม่ละลายน้ำมีแนวโน้มเพิ่มขึ้น แต่จะทำให้ปริมาณเส้นใยอาหารที่ละลายน้ำมีแนวโน้มลดลงที่เป็นเช่นนี้อาจเนื่องมาจากการบดเปียกด้วยความเร็วสูง ทำให้เส้นใยอาหารพองมีขนาดอนุภาคเล็กมาก ส่งผลให้สูญเสียองค์ประกอบของเส้นใยอาหารที่ละลายน้ำมากขึ้น ทำให้เส้นใยอาหารพองจากเปลือกในส้มโอที่ผลิตได้มีปริมาณเส้นใยอาหารที่ละลายน้ำลดลง ซึ่งสอดคล้องกับงานวิจัยของพัชรภรณ์ (2550) ที่พบว่า การบดเปียกและล้างด้วยน้ำอุณหภูมิ 95 องศาเซลเซียส จะทำให้เส้นใยอาหารที่ละลายน้ำเสียสภาพ หรือถูกชะล้างออกไปมากกว่าปกติ จึงทำให้สูญเสียเส้นใยอาหารที่ละลายน้ำมากกว่าการบดเปียก และล้างด้วยน้ำอุณหภูมิห้อง จากการศึกษาในครั้งนี้ พบว่า เส้นใยอาหารพองจากเปลือกในส้มโอมีปริมาณเส้นใยอาหารที่ไม่ละลายน้ำ อยู่ในช่วงร้อยละ 42.80-44.57 เส้นใยอาหารที่ละลายน้ำอยู่ในช่วงร้อยละ 33.92-35.87 และเส้นใยอาหารทั้งหมดอยู่ในช่วงร้อยละ 78.08-80.03 โดยความเร็วระดับสูง นาน 5 และ 1 นาที จะทำให้ปริมาณเส้นใยอาหารที่ไม่ละลายน้ำ เส้นใยอาหารที่ละลายน้ำ และเส้นใยอาหารทั้งหมด ไม่แตกต่างกันอย่างมีนัยสำคัญทางสถิติ ($p>0.05$) นอกจากนี้ยัง พบว่า เส้นใยอาหารพองจากเปลือกในส้มโอมีปริมาณ เส้นใยอาหารทั้งหมด และเส้นใยอาหารที่ละลายน้ำสูงกว่าเส้นใยอาหารจากแหล่งต่างๆ (ตารางที่ 4.13) เนื่องจากเส้นใยอาหารพองจากเปลือกในส้มโอมีปริมาณเส้นใยอาหารที่ละลายน้ำสูง จึงมีความเหมาะสมสำหรับนำไปใช้เป็นส่วนผสมในผลิตภัณฑ์อาหารที่มีลักษณะเหลว เช่น เครื่องดื่ม น้ำสลัด ไอศกรีม เป็นต้น (ทิพยา, 2542; ธนิกานต์, 2549; นพรัตน์ และสุทธินีย์, 2551)

ตารางที่ 4.12 ผลของความเร็วและระยะเวลาในการบดเปียกที่มีต่อปริมาณเส้นใยอาหารที่ไม่ละลายน้ำ เส้นใยอาหารที่ละลายน้ำ และเส้นใยอาหารทั้งหมดของเส้นใยอาหารผงจากเปลือกในส้มโอ

สิ่งทดลอง	ปริมาณเส้นใยอาหาร (ร้อยละโดยน้ำหนักแห้ง)		
	เส้นใยอาหารที่ไม่ละลายน้ำ	เส้นใยอาหารที่ละลายน้ำ	เส้นใยอาหารทั้งหมด
ความเร็วและระยะเวลา			
ระดับต่ำ นาน 1 นาที	43.24 ^{abc} ± 0.32	35.80 ^c ± 0.88	79.04 ^{ab} ± 0.66
ระดับต่ำ นาน 3 นาที	42.80 ^a ± 0.36	35.86 ^c ± 0.62	78.66 ^{ab} ± 0.77
ระดับต่ำ นาน 5 นาที	44.04 ^{bcd} ± 0.68	34.72 ^{ab} ± 0.78	78.77 ^{ab} ± 1.39
ระดับกลาง นาน 1 นาที	42.96 ^{ab} ± 0.44	35.72 ^{bc} ± 0.45	78.67 ^{ab} ± 0.57
ระดับกลาง นาน 3 นาที	43.54 ^{abcd} ± 0.38	35.87 ^c ± 0.15	79.42 ^{ab} ± 0.49
ระดับกลาง นาน 5 นาที	43.71 ^{abcd} ± 0.32	35.32 ^{bc} ± 0.18	79.03 ^{ab} ± 0.47
ระดับสูง นาน 1 นาที	44.57 ^d ± 0.40	35.45 ^{bc} ± 0.22	80.02 ^b ± 0.58
ระดับสูง นาน 3 นาที	44.16 ^{bcd} ± 1.09	33.92 ^a ± 0.47	78.08 ^a ± 1.55
ระดับสูง นาน 5 นาที	44.27 ^{cd} ± 1.09	35.76 ^c ± 0.59	80.03 ^b ± 1.13
ความเร็ว			
ระดับต่ำ	43.36 ^a ± 0.68	35.46 ^{ab} ± 0.87	78.82 ± 0.88
ระดับกลาง	43.40 ^a ± 0.47	35.64 ^b ± 0.35	79.04 ± 0.55
ระดับสูง	44.33 ^b ± 0.82	35.04 ^a ± 0.94	79.38 ± 1.40
ระยะเวลา^{ns}			
1 นาที	43.59 ± 0.82	35.66 ± 0.53	79.25 ± 0.80
3 นาที	43.50 ± 0.84	35.22 ± 1.05	78.81 ± 1.07
5 นาที	44.01 ± 0.70	35.27 ± 0.67	79.28 ± 1.09

หมายเหตุ: - ตัวเลขที่แสดงในตารางเป็นค่าเฉลี่ยจากการวิเคราะห์ 3 ซ้ำ ± ค่าเบี่ยงเบนมาตรฐาน

- ตัวอักษรภาษาอังกฤษที่กำกับค่าของข้อมูลที่แตกต่างกันในแต่ละแนวตั้ง แสดงว่ามีความแตกต่างกันอย่างมีนัยสำคัญทางสถิติที่ระดับความเชื่อมั่นร้อยละ 95

- ns หมายถึง ไม่มีความแตกต่างกันอย่างมีนัยสำคัญทางสถิติที่ระดับความเชื่อมั่นร้อยละ 95

ตารางที่ 4.13 ปริมาณเส้นใยอาหารที่ไม่ละลายน้ำ เส้นใยอาหารที่ละลายน้ำ และเส้นใยอาหารทั้งหมดของเส้นใยอาหารผงจากแหล่งต่างๆ

วัตถุดิบที่ใช้ผลิตเส้นใยอาหารผง	เส้นใยอาหารที่ไม่ละลายน้ำ	เส้นใยอาหารที่ละลายน้ำ	เส้นใยอาหารทั้งหมด	แหล่งอ้างอิง
พีช	26.10	9.70	35.8	Grigelmo-Miguel and Martin-Belloso (1999)
ลูกแพร์	22.00	14.10	36.10	Grigelmo-Miguel and Martin-Belloso (1999)
กากหลังคั้นน้ำของส้มพันธุ์วาเลนเซีย	25.50	11.30	36.90	Grigelmo-Miguel and Martin-Belloso (1999a)
กากหลังคั้นน้ำของส้มพันธุ์เนเวล	22.80	12.6	35.40	Grigelmo-Miguel and Martin-Belloso (1999a)
อ้อย	58.00	4.20	62.20	ดัดแปลงจาก สิชรินทร์ และปราณี (2546)
เกรฟฟรุตพันธุ์ Ruby	56.00	4.57	62.60	Figuerola <i>et al.</i> (2005)
เกรฟฟรุตพันธุ์ March	37.80	6.43	44.23	Figuerola <i>et al.</i> (2005)
มะนาวพันธุ์ Eureka	50.90	9.20	60.10	Figuerola <i>et al.</i> (2005)
เปลือกส้ม	27.40	21.84	49.24	Espachs-Barroso <i>et al.</i> (2005)
กล้วย	2.90	6.70	9.60	Raghavendra <i>et al.</i> (2006)
แครอท	23.75	34.40	58.15	Raghavendra <i>et al.</i> (2006)
มะพร้าว	58.71	4.53	63.24	Raghavendra <i>et al.</i> (2006)
แอปเปิ้ล	36.50	14.60	51.10	Sudha <i>et al.</i> (2007)
กากเมล็ดขี้หว่า	51.70	10.40	62.10	Sowbhagya <i>et al.</i> (2007)
กากหลังคั้นน้ำของส้มเขียวหวาน	56.27	17.06	73.34	อภิรักษ์ (2549)

หมายเหตุ : - ตัวเลขที่แสดงในตารางคิดเป็นร้อยละโดยน้ำหนักแห้ง

4.2.3 สภาวะที่เหมาะสมในการบดเปียกเพื่อการผลิตเส้นใยอาหารผงจากเปลือกในส้มโอ

เมื่อศึกษาผลของความเร็วและระยะเวลาในการบดเปียกที่มีต่อสมบัติทางกายภาพและเคมีของเส้นใยอาหารผงจากเปลือกในส้มโอ จากนั้นทำการคัดเลือกสภาวะที่ใช้ในการบดเปียกที่ให้สมบัติด้านต่างๆ ของผลิตภัณฑ์เส้นใยอาหารผงที่ดีที่สุด เพื่อให้ได้เส้นใยอาหารผงที่มีคุณภาพดีและเหมาะสมสำหรับนำไปใช้เสริมในผลิตภัณฑ์อาหาร แสดงในตารางที่ 4.14

ตารางที่ 4.14 สมบัติด้านต่างๆ ของเส้นใยอาหารผงจากเปลือกในส้มโอระหว่างสภาวะที่ให้คุณภาพของเส้นใยอาหารผงที่ดีที่สุดกับสภาวะที่เลือกใช้ในการผลิตเส้นใยอาหารผง

สมบัติของเส้นใยอาหารผงจากเปลือกในส้มโอ	ปัจจัยที่ศึกษา		ค่าที่ได้	ค่าที่ได้จากการบดเปียกที่ความเร็วระดับสูงนาน 1 นาที
	ระดับความเร็ว	ระยะเวลา		
ค่าสี L*	สูง	3 นาที	97.50	97.29
ปริมาณผลผลิตที่ได้ (ร้อยละ)	กลาง	1 นาที	11.09	11.04
ค่าความสามารถในการอุ้มน้ำ (กรัม น้ำต่อกรัม ตัวอย่างแห้ง)	กลาง	1 นาที	15.69	14.50
ค่าความสามารถในการอุ้มน้ำมัน (กรัม น้ำมันต่อกรัม ตัวอย่างแห้ง)	สูง	5 นาที	2.51	2.38
ค่าวอร์เตอร์แอกติวิตี	ต่ำ	3 นาที	0.178	0.207
ปริมาณความชื้น (ร้อยละ)	ต่ำ	1 นาที	7.61	7.84
ค่าความเป็นกรด-ด่าง	สูง	5 นาที	5.11	5.10
	ต่ำ	5 นาที	5.11	
ปริมาณเส้นใยอาหารที่ไม่ละลายน้ำ (ร้อยละ โดยน้ำหนักแห้ง)	สูง	1 นาที	44.57	44.57
ปริมาณเส้นใยอาหารที่ละลายน้ำ (ร้อยละ โดยน้ำหนักแห้ง)	กลาง	3 นาที	35.87	35.45
	ต่ำ	3 นาที	35.86	
ปริมาณเส้นใยอาหารทั้งหมด (ร้อยละ โดยน้ำหนักแห้ง)	สูง	5 นาที	80.03	80.02
	สูง	1 นาที	80.02	

เนื่องจากความเร็วระดับสูงในการบดเปียกให้ความถี่ของคุณภาพเส้นใยอาหารผงที่ดีที่สุดในด้านต่างๆ สูงกว่าอัตราเร็วระดับต่ำและระดับกลาง โดยมีความถี่ 6 ครั้ง รองลงมาคือ ความเร็วระดับต่ำและระดับกลาง โดยมีความถี่ 4 และ 3 ครั้ง เช่นเดียวกับระยะเวลาในการบดเปียก นาน 1 นาที ที่ให้ความถี่ของคุณภาพเส้นใยอาหารผงที่ดีที่สุดในด้านต่างๆ สูงกว่าระยะเวลานาน 3 และ 5 นาที ดังนั้นสภาวะที่เหมาะสมในการบดเปียกเปลือกในส้มโอ คือ ความเร็วระดับสูง นาน 1 นาที เนื่องจากทำให้ได้เส้นใยอาหารผงที่มีคุณภาพโดยรวมด้านต่างๆ ที่ดี (ตารางที่ 4.14) ซึ่งมีความเหมาะสมสำหรับนำไปใช้ในการศึกษาผลของปริมาณเส้นใยอาหารผงและการ โสโมจิโนซ์ ส่วนผสมไอศกรีมต่อคุณภาพของไอศกรีมนมเสริมเส้นใยอาหารผงจากเปลือกในส้มโอต่อไป

4.3 ผลของปริมาณเส้นใยอาหารผงและการโฮมจิไนซ์ส่วนผสมไอศกรีมต่อคุณภาพของไอศกรีมนมเสริมเส้นใยอาหารผงจากเปลือกในส้มโอ

4.3.1 ผลของปริมาณเส้นใยอาหารผงต่อคุณภาพของไอศกรีมนมเสริมเส้นใยอาหารผงจากเปลือกในส้มโอ

4.3.1.1 สมบัติทางกายภาพ

ก) ปริมาณของแข็งที่ละลายได้ในน้ำทั้งหมด

ผลการวิเคราะห์ปริมาณของแข็งที่ละลายได้ในน้ำทั้งหมด (total soluble solid, TSS) ของส่วนผสมไอศกรีม แสดงดังตารางที่ 4.15 พบว่า ส่วนผสมไอศกรีมสูตรควบคุมมีปริมาณของแข็งที่ละลายได้ในน้ำทั้งหมดต่ำสุด คือ 25.37 องศาบริกซ์ เมื่อเพิ่มปริมาณเส้นใยอาหารผงจากเปลือกในส้มโอในส่วนผสมเป็นร้อยละ 0.5, 1.0 และ 1.5 (w/w) ทำให้ส่วนผสมไอศกรีมมีปริมาณของแข็งที่ละลายได้ในน้ำทั้งหมดเพิ่มขึ้น โดยมีค่าเท่ากับร้อยละ 25.40, 25.51 และ 25.59 องศาบริกซ์ ตามลำดับ เนื่องจากเมื่อเพิ่มปริมาณเส้นใยอาหารผง จะทำให้สัดส่วนของน้ำนมดิบในส่วนผสมลดลง ส่งผลให้น้ำซึ่งเป็นตัวทำละลายในส่วนผสมไอศกรีมมีปริมาณลดลง นอกจากนี้การเพิ่มปริมาณเส้นใยอาหารผงซึ่งมีองค์ประกอบของเส้นใยอาหารที่ไม่ละลายน้ำและละลายน้ำ โดยเส้นใยอาหารที่ไม่ละลายน้ำมีความสามารถในการอุ้มน้ำ ทำให้น้ำในส่วนผสมมีปริมาณลดลง ส่วนเส้นใยอาหารที่ละลายน้ำ ทำให้ส่วนผสมมีตัวทำละลายเพิ่มขึ้น จึงส่งผลให้ส่วนผสมไอศกรีมมีปริมาณของแข็งที่ละลายได้ในน้ำทั้งหมดเพิ่มขึ้น อย่างไรก็ตามการเสริมเส้นใยอาหารผงร้อยละ 0.5 และ 1.0 (w/w) มีปริมาณของแข็งที่ละลายได้ในน้ำทั้งหมด ไม่แตกต่างกันอย่างมีนัยสำคัญทางสถิติ ($p > 0.05$) แต่มีค่าต่ำกว่าร้อยละ 1.5 ($p \leq 0.05$)

ข) ความหนืดปรากฏ

ผลการวิเคราะห์ความหนืดปรากฏ (apparent viscosity) ของส่วนผสมไอศกรีมด้วยเครื่อง Brookfield viscometer แสดงดังตารางที่ 4.15 พบว่า ปริมาณเส้นใยอาหารผงจากเปลือกในส้มโอที่เติมลงในส่วนผสมไอศกรีมมีผลต่อค่าความหนืดปรากฏของส่วนผสมไอศกรีม คือ เมื่อเพิ่มปริมาณเส้นใยอาหารผงจากเปลือกในส้มโอในส่วนผสม จะทำให้ความหนืดปรากฏของส่วนผสมไอศกรีมเพิ่มขึ้น การเสริมเส้นใยอาหารผงร้อยละ 1.5 (w/w) มีค่าความหนืดปรากฏสูงสุด คือ 215.87 เซนติพอยส์ รองลงมาคือ การเสริมเส้นใยอาหารผงร้อยละ 1.0 และ 0.5 (w/w) มีค่าความหนืด

ปรากฏเท่ากับ 124.79 และ 72.08 เซนติพอยส์ ตามลำดับ ส่วนไอศกรีมนมสูตรควบคุมมีค่าความหนืดปรากฏต่ำสุด คือ 49.69 เซนติพอยส์ เนื่องจากเส้นใยอาหารผงจากเปลือกในส้มโอซึ่งเป็นผลไม้ตระกูลส้มมีปริมาณเพคตินสูง (Prosky and Devries, 1992) ประกอบกับเส้นใยอาหารมีสมบัติในการจับกับน้ำ (hydration properties) และเกิดเป็นเจล (gel forming) (Nelson, 2001; Sangnark and Noomhorm, 2003; Elleuch *et al.*, 2011) ทั้งยังมีสมบัติในการเป็นสารเพิ่มความหนืด (thickener) (Sangnark and Noomhorm, 2003) การนำเส้นใยอาหารผงมาใช้เป็นส่วนผสมในการผลิตไอศกรีมจะทำให้ส่วนผสมไอศกรีมมีความหนืดปรากฏเพิ่มขึ้น ซึ่งสอดคล้องกับงานวิจัยของ El-Nagar *et al.* (2002) ที่พบว่า การเติมอินูลินซึ่งมีส่วนของเส้นใยอาหารที่ละลายน้ำสูงในผลิตภัณฑ์ไอศกรีมไข่แดงในปริมาณเพิ่มขึ้น คือ ร้อยละ 5, 7 และ 9 (w/w) ทำให้ความหนืดปรากฏของส่วนผสมไอศกรีมเพิ่มขึ้น เนื่องจากเกิดอันตรกิริยา (interactions) ระหว่างเส้นใยอาหาร และองค์ประกอบที่เป็นน้ำของส่วนผสมไอศกรีม นอกจากนี้ Dervisoglu and Yazici (2006) พบว่า การเติมเส้นใยอาหารจากพืชตระกูลส้มในผลิตภัณฑ์ไอศกรีมในปริมาณที่เพิ่มขึ้นคือ ร้อยละ 0.4, 0.8 และ 1.2 (w/w) ทำให้ส่วนผสมไอศกรีมมีความหนืดปรากฏเพิ่มขึ้น และ Soukoulis *et al.* (2009) ศึกษาผลของการเสริมเส้นใยอาหาร 4 ชนิด คือ เส้นใยอาหารจากข้าวโอ๊ต ข้าวสาลี แอปเปิล และอินูลินในไอศกรีม พบว่าการเพิ่มปริมาณเส้นใยอาหารทั้ง 4 ชนิด ในส่วนผสมไอศกรีม ทำให้ค่าความหนืดปรากฏของส่วนผสมไอศกรีมเพิ่มขึ้นเช่นกัน

ตารางที่ 4.15 ปริมาณของแข็งที่ละลายได้ในน้ำทั้งหมด และความหนืดปรากฏของไอศกรีมนมเสริมเส้นใยอาหารผงจากเปลือกในส้มโอเปรียบเทียบกับไอศกรีมนมสูตรควบคุม

ปริมาณเส้นใยอาหารผง (ร้อยละ)	สมบัติทางกายภาพ	
	ปริมาณของแข็งที่ละลายได้ในน้ำทั้งหมด (องศาบริกซ์)	ความหนืดปรากฏ (เซนติพอยส์)
0 (สูตรควบคุม)	25.37 ^a ± 0.13	49.69 ^a ± 2.66
0.5	25.40 ^{ab} ± 0.25	72.08 ^b ± 3.24
1.0	25.51 ^{ab} ± 0.20	124.79 ^c ± 1.35
1.5	25.59 ^c ± 0.20	215.87 ^d ± 6.58

หมายเหตุ : - ตัวเลขที่แสดงในตารางเป็นค่าเฉลี่ยจากการวิเคราะห์ 3 ซ้ำ ± ค่าเบี่ยงเบนมาตรฐาน

- ตัวอักษรภาษาอังกฤษที่กำกับค่าของข้อมูลที่แตกต่างกันในแต่ละแนวตั้ง แสดงว่ามีความแตกต่างกันอย่างมีนัยสำคัญทางสถิติที่ระดับความเชื่อมั่นร้อยละ 95

ค) การขึ้นฟู

การขึ้นฟู คือ ปริมาตรของไอศกรีมที่เพิ่มขึ้นจากปริมาตรของส่วนผสมไอศกรีม ซึ่งการเพิ่มขึ้นของปริมาตรของส่วนผสมเกิดจากอากาศแทรกตัวเข้าไปในเนื้อไอศกรีมในระหว่างการตีปั่นให้แข็งตัว (สุพัฒน์, 2546) ผลการวิเคราะห์ค่าการขึ้นฟูของไอศกรีม แสดงดังตารางที่ 4.16 พบว่า ไอศกรีมนมสูตรควบคุมมีค่าการขึ้นฟูสูงสุด คือ ร้อยละ 65.78 เมื่อเพิ่มปริมาณเส้นใยอาหารผงจากเปลือกในส้มโอในส่วนผสมไอศกรีมเป็นร้อยละ 0.5, 1.0 และ 1.5 (w/w) ทำให้ผลิตภัณฑ์ที่ได้มีการขึ้นฟูลดลง เนื่องจากเส้นใยอาหารผงมีส่วนทำให้ส่วนผสมไอศกรีมมีความหนืดเพิ่มขึ้น จึงทำให้การตีอากาศเข้าไปในเนื้อไอศกรีมในระหว่างการปั่นทำได้น้อยลง ส่งผลให้ไอศกรีมที่ได้ค่าการขึ้นฟูต่ำ (กึ่งนาง, 2552; ทักษิพย์, 2552; Clarke, 2004) โดยการเสริมเส้นใยอาหารผงร้อยละ 0.5 และ 1.0 (w/w) มีค่าการขึ้นฟู ไม่แตกต่างกันอย่างมีนัยสำคัญทางสถิติ ($p > 0.05$) โดยมีค่าเท่ากับ ร้อยละ 55.41 และ 53.88 ตามลำดับ ส่วนการเสริมเส้นใยอาหารผงร้อยละ 1.5 (w/w) มีค่าการขึ้นฟูต่ำสุด คือ ร้อยละ 50.80

ง) อัตราการละลาย

อัตราการละลาย (melting rate) ของไอศกรีมนมเสริมเส้นใยอาหารผงจากเปลือกในส้มโอ เปรียบเทียบกับไอศกรีมนมสูตรควบคุม แสดงดังตารางที่ 4.16 พบว่าการเพิ่มปริมาณเส้นใยอาหารผงจากเปลือกในส้มโอในส่วนผสมไอศกรีม ทำให้อัตราการละลายของไอศกรีมลดลง โดยไอศกรีมนมเสริมเส้นใยอาหารผงร้อยละ 1.5 (w/w) มีอัตราการละลายช้าที่สุด คือ 0.11 กรัมต่อ 100 กรัมต่อนาที รองลงมาคือ ไอศกรีมนมเสริมเส้นใยอาหารผงร้อยละ 1.0 และ 0.5 (w/w) มีอัตราการละลายเท่ากับ 0.26 และ 0.50 กรัมต่อ 100 กรัมต่อนาที ตามลำดับ ส่วนไอศกรีมนมสูตรควบคุม มีอัตราการละลายเร็วที่สุด คือ 0.56 กรัมต่อ 100 กรัมต่อนาที เนื่องจากเส้นใยอาหารมีสมบัติในการจับกับน้ำ (Nelson, 2001; Elleuch *et al.*, 2011) เมื่อเส้นใยอาหารดูดน้ำในส่วนผสม จะทำให้น้ำที่จะกลายเป็นน้ำแข็งหรือน้ำที่อยู่ในรูปของน้ำเชื่อมมีปริมาณน้อยลง ส่งผลให้การนำความร้อนของไอศกรีมเกิดขึ้นช้า (Garcia *et al.*, 1995) ไอศกรีมจึงมีอัตราการละลายช้าลง นอกจากนี้อัตราการละลายยังมีความสัมพันธ์กับความหนืดปรากฏ การเพิ่มปริมาณอินูลินในส่วนผสม ทำให้ความหนืดปรากฏของส่วนผสมไอศกรีมเพิ่มขึ้น ส่งผลให้อัตราการละลายของผลิตภัณฑ์ไอศกรีมไข่แดงลดลง (El-Nagar *et al.*, 2002) ซึ่งสอดคล้องกับงานวิจัยของสุพัฒน์ (2546) ที่พบว่า เมื่อค่าความหนืดปรากฏของส่วนผสมไอศกรีมเพิ่มขึ้น จะทำให้อัตราการละลายของไอศกรีมช้าลง นอกจากนี้อิทธิพลของความหนืดปรากฏที่มีผลต่ออัตราการละลายของไอศกรีม Sofjan and Hartel (2004) ยังพบว่า

ค่าการขึ้นฟูสูงจะทำให้เกิดความแตกต่างของอัตราการถ่ายเทความร้อนจากปริมาณอากาศที่เพิ่มมากขึ้น เนื่องจากอากาศเป็นฉนวนที่ดี จึงทำให้อัตราการถ่ายเทความร้อนของไอศกรีมช้าลง

ตารางที่ 4.16 ค่าการขึ้นฟู อัตราการละลาย และความแน่นเนื้อของ ไอศกรีมนมเสริมเส้นใยอาหารผง จากเปลือกในส้มโอเปรียบเทียบกับ ไอศกรีมนมสูตรควบคุม

ปริมาณเส้นใยอาหารผง (ร้อยละ)	สมบัติทางกายภาพ		
	การขึ้นฟู (ร้อยละ)	อัตราการละลาย (กรัมต่อ100 กรัมต่อนาที)	ความแน่นเนื้อ (กรัม, gram force)
0 (สูตรควบคุม)	65.78 ^c ± 4.66	0.56 ^c ± 0.12	1760.12 ^a ± 202.47
0.5	55.41 ^b ± 2.00	0.50 ^c ± 0.18	2952.47 ^b ± 246.05
1.0	53.88 ^{ab} ± 4.19	0.26 ^b ± 0.12	3003.78 ^b ± 265.45
1.5	50.80 ^a ± 5.08	0.11 ^a ± 0.01	4097.15 ^c ± 272.60

หมายเหตุ : - ตัวเลขที่แสดงในตารางเป็นค่าเฉลี่ยจากการวิเคราะห์ 3 ซ้ำ ± ค่าเบี่ยงเบนมาตรฐาน

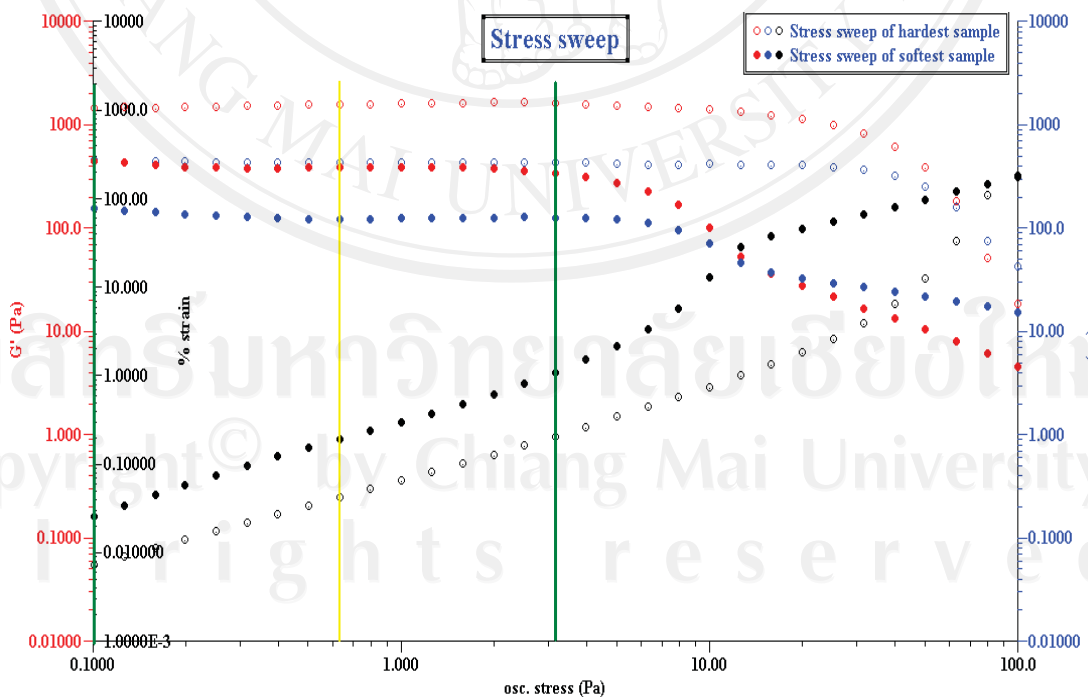
- ตัวอักษรภาษาอังกฤษที่กำกับค่าของข้อมูลที่แตกต่างกันในแต่ละแนวตั้ง แสดงว่ามีความแตกต่างกันอย่างมีนัยสำคัญทางสถิติที่ระดับความเชื่อมั่นร้อยละ 95

จ) เนื้อสัมผัสด้านความแน่นเนื้อ

ความแน่นเนื้อ (firmness) ของไอศกรีมมีความสัมพันธ์โดยตรงกับค่าการขึ้นฟู คือ ไอศกรีมที่มีค่าการขึ้นฟูต่ำ จะมีค่าความแน่นเนื้อเพิ่มขึ้น (Clarke, 2004) ผลการวิเคราะห์ความแน่นเนื้อของ ไอศกรีมนมเสริมเส้นใยอาหารผงจากเปลือกในส้มโอเปรียบเทียบกับ ไอศกรีมนมสูตรควบคุม แสดงดังตารางที่ 4.16 พบว่า ไอศกรีมนมเสริมเส้นใยอาหารผงร้อยละ 1.5 (w/w) ซึ่งมีค่าการขึ้นฟูต่ำสุด จะมีค่าความแน่นเนื้อสูงสุด คือ 4,097.15 กรัม รองลงมา คือ ไอศกรีมนมเสริมเส้นใยอาหารผงร้อยละ 1.0 และ 0.5 (w/w) มีค่าความแน่นเนื้อไม่แตกต่างกันอย่างมีนัยสำคัญทางสถิติ ($p>0.05$) โดยมีค่าเท่ากับ 3,003.78 และ 2,952.47 กรัม ตามลำดับ ส่วนไอศกรีมนมสูตรควบคุม ซึ่งมีค่าการขึ้นฟูสูงสุด จะมีค่าความแน่นเนื้อต่ำสุด คือ 1,760.12 กรัม ซึ่งสอดคล้องกับงานวิจัยของ กุ้งนาง (2552) และ Mashall and Arbuckle (1996) ที่พบว่า ตัวอย่างที่มีค่าการขึ้นฟูต่ำ จะมีความแน่นเนื้อสูง ประกอบกับเส้นใยอาหารมีสมบัติในการจับกับน้ำและเกิดเป็นเจลได้ดี (Nelson, 2001; Sangnark and Noomhorm, 2003; Elleuch *et al.*, 2011) จึงต้องใช้แรงกดมากขึ้นในการทำให้เสียรูปร่างมากกว่าตัวอย่างสูตรควบคุม (หทัยทิพย์, 2552) ดังนั้น ไอศกรีมนมเสริมเส้นใยอาหารจากเปลือกในส้มโอจึงมีความแน่นเนื้อสูงกว่าผลิตภัณฑ์ไอศกรีมนมสูตรควบคุม

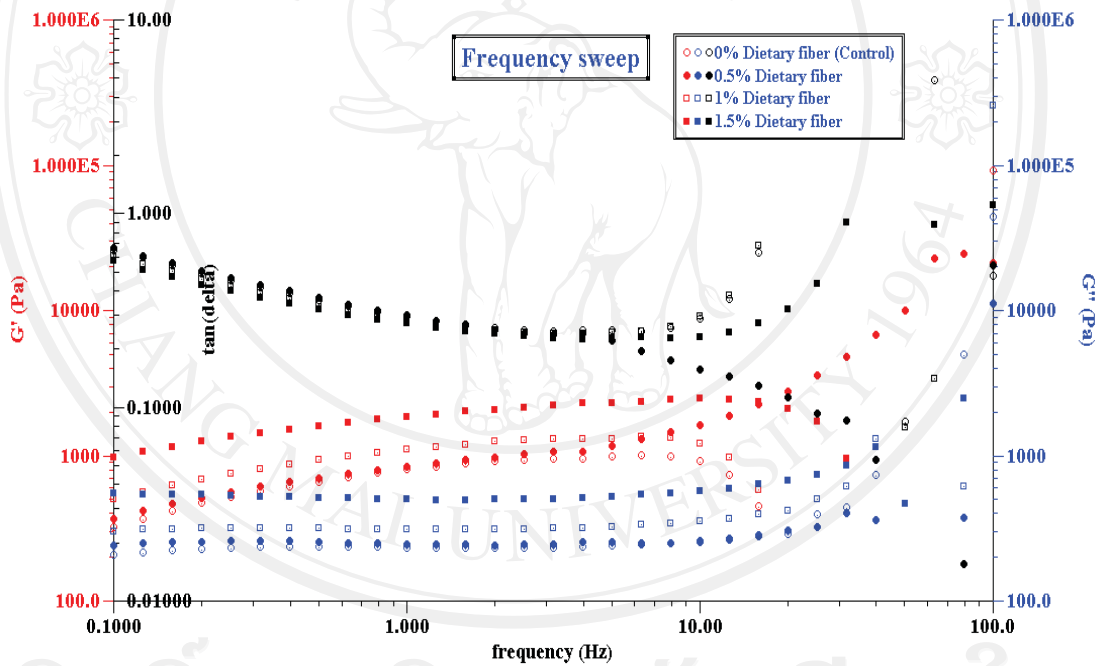
จ) สมบัติทางรีโอโลยี

การวิเคราะห์สมบัติทางรีโอโลยีของตัวอย่างไอศกรีมในการศึกษาครั้งนี้ เริ่มจากการทดสอบหาความเค้นที่เหมาะสม ด้วยวิธี Stress sweep step ของตัวอย่างไอศกรีมที่มีความแข็งสูงสุดและต่ำสุด เพื่อใช้ในการทำนายช่วงที่ตัวอย่างไอศกรีมแสดงสมบัติวิสโคอีลาสติกเชิงเส้น (linear viscoelastic) ซึ่งแสดงค่าระหว่างค่าโมดูลัสสะสม (storage modulus หรือ G' คือ พลังงานที่สะสมไว้เพื่อใช้ในการกลับคืนสู่สภาพเดิม และแสดงถึงพฤติกรรมคล้ายของแข็ง) ค่าโมดูลัสสูญเสีย (loss modulus หรือ G'' คือ พลังงานที่สูญเสียไปในระหว่างการผิดรูป และแสดงถึงพฤติกรรมคล้ายของเหลวไหลหนืด) และร้อยละการผิดรูป (% strain) โดยกำหนดให้ความถี่ (frequency) ในการทดสอบคงที่เท่ากับ 1 เฮิรตซ์ และแปรผันช่วงความเค้นสั่น (oscillating stress) ระหว่าง 0.1-100 ปาสคาล พบว่า ตัวอย่างไอศกรีมนมเสริมเส้นโยฮาทาร์ผงจากเปลือกในส้มโอและไอศกรีมนมสูตรควบคุมที่มีค่าความแข็งสูงสุดและต่ำสุด จะแสดงสมบัติวิสโคอีลาสติกเชิงเส้นในช่วงความเค้นสั่นประมาณ 0.1-3.162 ปาสคาล (รูปที่ 4.12) จึงทำการคัดเลือกค่าความเค้นสั่นที่ 0.6323 ปาสคาล ซึ่งเป็นความเค้นสั่นที่ไม่ทำให้ตัวอย่างเสียสภาพ และมีร้อยละการผิดรูปน้อยกว่า 1 มาทำการศึกษสมบัติทางรีโอโลยีของตัวอย่างไอศกรีมด้วยวิธี frequency sweep step ที่ความถี่ 0.1-100 เฮิรตซ์ ในลำดับต่อไป



รูปที่ 4.12 สมบัติวิสโคอีลาสติกเชิงเส้นของไอศกรีมนม

ผลการวิเคราะห์ค่าโมดูลัสสะสม ค่าโมดูลัสสูญหาย และค่า loss tangent ($\tan \delta$) ซึ่งเป็นค่าที่แสดงสัดส่วนของโมดูลัสสูญหายต่อ โมดูลัสสะสมของไอศกรีมนมเสริมเส้นใยอาหารผงจากเปลือกในส้มโอเปรียบเทียบกับไอศกรีมนมสูตรควบคุม แสดงดังรูปที่ 4.13 พบว่า ไอศกรีมนมสูตรควบคุมและไอศกรีมนมเสริมเส้นใยอาหารผงจากเปลือกในส้มโอมีค่าโมดูลัสสะสมสูงกว่าโมดูลัสสูญหาย อีกทั้งมีค่า loss tangent ต่ำกว่า 1 แสดงว่า ไอศกรีมนมสูตรควบคุมและไอศกรีมนมเสริมเส้นใยอาหารผงจากเปลือกในส้มโอมีลักษณะเป็นของแข็งยืดหยุ่น (elastic solid) มากกว่าของเหลวไหลหนืด (viscous fluid) และจะเริ่มเสียสภาพเมื่อความถี่สูงกว่า 10 เฮิรตซ์ อาจเนื่องมาจากผลึกน้ำแข็งเกิดการละลายหรือโครงสร้างอื่น เช่น ฟองอากาศ โครงสร้างของไขมัน โปรตีน หรือสารให้ความคงตัวเกิดการเปลี่ยนแปลงหรือถูกทำลายจากความถี่สูงเกินไป (หทัยทิพย์, 2552)



รูปที่ 4.13 ค่าโมดูลัสสะสม (G') ค่าโมดูลัสสูญหาย (G'') และ ค่า loss tangent ($\tan \delta$) ของไอศกรีมนมเสริมเส้นใยอาหารผงจากเปลือกในส้มโอเปรียบเทียบกับไอศกรีมนมสูตรควบคุม

จากนั้นเปรียบเทียบค่าโมดูลัสสะสม ค่าโมดูลัสสูญหาย และค่า loss tangent ที่ความถี่ 1 เฮิรตซ์ แสดงดังตารางที่ 4.17 พบว่า การเพิ่มปริมาณเส้นใยอาหารผงจากเปลือกในส้มโอในส่วนผสมไอศกรีม ทำให้ค่าโมดูลัสสะสมและโมดูลัสสูญหายของไอศกรีมมีแนวโน้มเพิ่มขึ้น โดยการเสริมเส้นใยอาหารผงร้อยละ 1.5 (w/w) มีค่าโมดูลัสสะสมสูงสุด คือ 1847.44 ปาสคาล รองลงมาคือ การเสริมเส้นใยอาหารผงร้อยละ 1.0, 0.5 (w/w) และไอศกรีมนมสูตรควบคุม ซึ่งมีค่า

โมดูลัสสะสม ไม่แตกต่างกันอย่างมีนัยสำคัญทางสถิติ ($p>0.05$) โดยมีค่าเท่ากับ 1,098.38, 827.02 และ 779.54 ปาสคาล ตามลำดับ ส่วนค่าโมดูลัสสูญหายมีแนวโน้มเป็นเช่นเดียวกับค่าโมดูลัสสะสม คือ การเสริมเส้นใยอาหารผงร้อยละ 1.5 (w/w) มีค่าโมดูลัสสูญหายสูงสุด คือ 502.10 ปาสคาล รองลงมาคือ การเสริมเส้นใยอาหารผงร้อยละ 1.0 และ 0.5 (w/w) ซึ่งมีค่าโมดูลัสสูญหาย ไม่แตกต่างกันอย่างมีนัยสำคัญทางสถิติ ($p>0.05$) โดยมีค่าเท่ากับ 322.07 และ 243.11 ปาสคาล ตามลำดับ ส่วนไอศกรีมนมสูตรควบคุมมีค่าโมดูลัสสูญหายต่ำสุด คือ 229.13 ปาสคาล แต่ไม่แตกต่างกันอย่างมีนัยสำคัญทางสถิติ ($p>0.05$) กับการเสริมเส้นใยอาหารผงร้อยละ 0.5 (w/w) แต่การเพิ่มปริมาณเส้นใยอาหารผงในส่วนผสมไอศกรีมทำให้ค่า loss tangent มีแนวโน้มลดลง โดยไอศกรีมนมสูตรควบคุมมีค่า loss tangent สูงสุด คือ 0.297 รองลงมาคือ ไอศกรีมนมเสริมเส้นใยอาหารผงร้อยละ 0.5 (w/w) มีค่า loss tangent ไม่แตกต่างกันอย่างมีนัยสำคัญทางสถิติ ($p>0.05$) กับไอศกรีมนมสูตรควบคุม โดยมีค่าเท่ากับ 0.295 ไอศกรีมนมเสริมเส้นใยอาหารผงร้อยละ 1.0 (w/w) มีค่า loss tangent เท่ากับ 0.284 และ ไอศกรีมนมเสริมเส้นใยอาหารผงร้อยละ 1.5 (w/w) มีค่า loss tangent ต่ำสุด คือ 0.269

ตารางที่ 4.17 ค่าโมดูลัสสะสม ค่าโมดูลัสสูญหาย และค่า loss tangent ของไอศกรีมนมเสริมเส้นใยอาหารผงจากเปลือกในส้มโอเปรียบเทียบกับไอศกรีมนมสูตรควบคุม

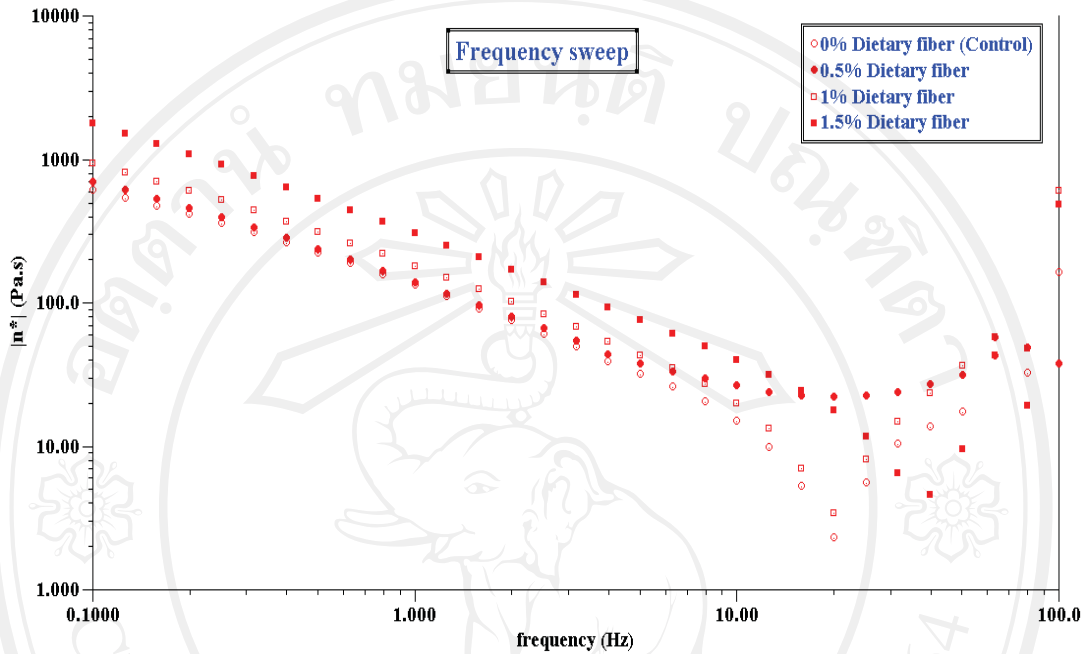
ปริมาณเส้นใยอาหารผง (ร้อยละ)	โมดูลัสสะสม (ปาสคาล)	โมดูลัสสูญหาย (ปาสคาล)	loss tangent ($\tan \delta$)
0 (สูตรควบคุม)	779.54 ^a ± 266.02	229.13 ^a ± 73.44	0.297 ^c ± 0.02
0.5	827.02 ^a ± 197.36	243.11 ^{ab} ± 55.85	0.295 ^{bc} ± 0.01
1.0	1098.38 ^a ± 213.86	322.07 ^b ± 52.50	0.284 ^b ± 0.01
1.5	1847.44 ^b ± 524.25	502.10 ^c ± 139.00	0.269 ^a ± 0.01

หมายเหตุ: - ตัวเลขที่แสดงในตารางเป็นค่าเฉลี่ยจากการวิเคราะห์ 3 ซ้ำ ± ค่าเบี่ยงเบนมาตรฐาน

- ตัวอักษรภาษาอังกฤษที่กำกับค่าของข้อมูลที่แตกต่างกันในแต่ละแนวตั้ง แสดงว่ามีความแตกต่างกันอย่างมีนัยสำคัญทางสถิติที่ระดับความเชื่อมั่นร้อยละ 95

ผลการวิเคราะห์ค่าความหนืดเชิงซ้อน (complex viscosity, η^*) แสดงดังรูปที่ 4.14 พบว่า การเพิ่มปริมาณเส้นใยอาหารผงจากเปลือกในส้มโอในส่วนผสมไอศกรีม ทำให้ความหนืดเชิงซ้อนของไอศกรีมนมเสริมเส้นใยอาหารผงมีค่าสูงกว่าไอศกรีมนมสูตรควบคุม โดยค่าความ

หนืดเชิงซ้อนจะเปลี่ยนแปลงไปตามความถี่ และลดลงอย่างรวดเร็วตามความถี่ที่เพิ่มขึ้น แสดงว่า ไอศกรีมที่ได้แสดงพฤติกรรมของไหลแบบ non-Newtonian แบบ shear thinning



รูปที่ 4.14 ค่าความหนืดเชิงซ้อนของไอศกรีมนมเสริมเส้นใยอาหารผงจากเปลือกในส้มโอ เปรียบเทียบกับไอศกรีมนมสูตรควบคุม

เมื่อเปรียบเทียบค่าความหนืดเชิงซ้อนที่ความถี่ 1 เฮิซท์ แสดงดังตารางที่ 4.18 พบว่าการเสริมเส้นใยอาหารผงร้อยละ 1.5 (w/w) มีค่าความหนืดเชิงซ้อนสูงสุด คือ 310.37 ปาสคาล.วินาที รองลงมาคือ การเสริมเส้นใยอาหารผงร้อยละ 1.0 และ 0.5 (w/w) มีค่าความหนืดเชิงซ้อนเท่ากับ 181.66 และ 137.20 ปาสคาล.วินาที ตามลำดับ ส่วนไอศกรีมนมสูตรควบคุมมีค่าความหนืดเชิงซ้อนต่ำสุด คือ 129.69 ปาสคาล.วินาที ซึ่งผลการวิเคราะห์ค่าความหนืดเชิงซ้อนที่ได้สอดคล้องกับผลการวิเคราะห์ค่าความหนืดปรากฏด้วยเครื่อง Brookfield viscometer ที่พบว่า การเพิ่มปริมาณเส้นใยอาหารผงจากเปลือกในส้มโอในส่วนผสมไอศกรีม ทำให้ความหนืดปรากฏของส่วนผสมไอศกรีมเพิ่มขึ้น เนื่องจากเส้นใยอาหารผงจากเปลือกในส้มโอซึ่งเป็นผลไม้ตระกูลส้มมีปริมาณเพคตินสูง (Prosky and Devries, 1992) ประกอบกับเส้นใยอาหารมีสมบัติในการจับกับน้ำและเกิดเจลได้ดี (Nelson, 2001; Sangnark and Noomhorm, 2003; Elleuch *et al.*, 2011) การนำมาใช้เป็นส่วนผสม จะทำให้ส่วนผสมไอศกรีมมีความหนืดเพิ่มขึ้น (Sosulski and Cadden, 1982; El-Nagar *et al.*, 2002; Dervisoglu and Yazici, 2006)

ตารางที่ 4.18 ค่าความหนืดเชิงซ้อนของไอศกรีมนมเสริมเส้นใยอาหารผงจากเปลือกในส้มโอเปรียบเทียบกับไอศกรีมนมสูตรควบคุม

ปริมาณเส้นใยอาหารผง (ร้อยละ)	ความหนืดเชิงซ้อน (ปาสคาล.วินาที)
0 (สูตรควบคุม)	129.32 ^a ± 43.89
0.5	137.20 ^{ab} ± 32.62
1.0	181.66 ^b ± 35.10
1.5	310.37 ^c ± 79.84

หมายเหตุ : - ตัวเลขที่แสดงในตารางเป็นค่าเฉลี่ยจากการวิเคราะห์ 3 ซ้ำ ± ค่าเบี่ยงเบนมาตรฐาน
- ตัวอักษรภาษาอังกฤษที่กำกับค่าของข้อมูลที่แตกต่างกันในแต่ละแนวตั้ง แสดงว่ามีความแตกต่างกันอย่างมีนัยสำคัญทางสถิติที่ระดับความเชื่อมั่นร้อยละ 95

จากการวิเคราะห์สมบัติทางรีโอโลยีของไอศกรีมนมเสริมเส้นใยอาหารผงจากเปลือกในส้มโอเปรียบเทียบกับไอศกรีมนมสูตรควบคุม จะเห็นได้ว่า ทั้งไอศกรีมนมเสริมเส้นใยอาหารผงจากเปลือกในส้มโอและไอศกรีมนมสูตรควบคุม มีลักษณะเป็นของแข็งยืดหยุ่นมากกว่าของเหลวไหลหนืด ซึ่งการที่ไอศกรีมมีค่าโมดูลัสสะสมสูงกว่าค่าโมดูลัสสูญหาย และมีค่า loss tangent ต่ำ แสดงถึง การมีโครงสร้างที่ดีของไอศกรีม (Granger *et al.*, 2005)

4.3.1.2 สมบัติทางเคมี

ก) ไขมัน

ผลการวิเคราะห์ปริมาณไขมันในไอศกรีมนมเสริมเส้นใยอาหารผงจากเปลือกในส้มโอเปรียบเทียบกับไอศกรีมนมสูตรควบคุม แสดงดังตารางที่ 4.19 พบว่า ไอศกรีมนมสูตรควบคุมมีปริมาณไขมันสูงสุด คือ ร้อยละ 10.34 ซึ่งไม่แตกต่างกันอย่างมีนัยสำคัญทางสถิติ ($p > 0.05$) กับการเสริมเส้นใยอาหารผงร้อยละ 0.5, 1.0 และ 1.5 (w/w) โดยมีปริมาณไขมันเท่ากับร้อยละ 9.50, 9.34 และ 9.23 ตามลำดับ

ข) โปรตีน

ผลการวิเคราะห์ปริมาณโปรตีนในไอศกรีมนมเสริมเส้นใยอาหารผงจากเปลือกในส้มโอเปรียบเทียบกับไอศกรีมนมสูตรควบคุม แสดงดังตารางที่ 4.19 พบว่า ไอศกรีมนมสูตรควบคุมมี

ปริมาณโปรตีนสูงสุด คือ ร้อยละ 1.76 รองลงมาคือ การเสริมเส้นใยอาหารผง ร้อยละ 0.5 (w/w) ซึ่งไม่แตกต่างกันอย่างมีนัยสำคัญทางสถิติ ($p>0.05$) กับการเสริมเส้นใยอาหารผงร้อยละ 1.0 (w/w) โดยมีปริมาณโปรตีนเท่ากับร้อยละ 1.71 และ 1.67 ตามลำดับ ส่วนการเสริมเส้นใยอาหารผงร้อยละ 1.5 (w/w) มีปริมาณโปรตีนต่ำสุด คือ ร้อยละ 1.63 ที่เป็นเช่นนี้เนื่องจากการเพิ่มปริมาณเส้นใยอาหารผงในส่วนผสม ทำให้ส่วนผสมที่เป็นแหล่งของโปรตีน คือ น้านมและนมผงลดลง ส่งผลให้ปริมาณโปรตีนในไอศกรีมลดลง

ค) ค่าความเป็นกรด-ด่าง

ผลการวิเคราะห์ค่าความเป็นกรด-ด่างของไอศกรีมนมเสริมเส้นใยอาหารผงจากเปลือกในส้มโอ เปรียบเทียบกับไอศกรีมนมสูตรควบคุม แสดงดังตารางที่ 4.19 พบว่า ไอศกรีมนมสูตรควบคุม มีค่าความเป็นกรด-ด่างสูงสุด คือ 6.32 การเพิ่มปริมาณเส้นใยอาหารผงในส่วนผสมไอศกรีม ทำให้ไอศกรีมที่ได้มีค่าความเป็นกรด-ด่างลดลง เนื่องจากเส้นใยอาหารผงจากเปลือกในส้มโอมีค่าก่อนมาทางกรด โดยไอศกรีมนมเสริมเส้นใยอาหารผงร้อยละ 1.5 (w/w) มีค่าความเป็นกรด-ด่างต่ำสุด คือ 6.17 ซึ่งไม่แตกต่างกันอย่างมีนัยสำคัญทางสถิติ ($p>0.05$) กับการเสริมเส้นใยอาหารผงร้อยละ 1.0 (w/w) ซึ่งมีค่าเท่ากับ 6.18 ส่วนการเสริมอาหารผงร้อยละ 0.5 (w/w) มีค่าความเป็นกรด-ด่างเท่ากับ 6.28

ตารางที่ 4.19 สมบัติทางเคมีของไอศกรีมนมเสริมเส้นใยอาหารผงจากเปลือกในส้มโอเปรียบเทียบกับไอศกรีมนมสูตรควบคุม

ปริมาณเส้นใยอาหารผง (ร้อยละ)	ไขมัน ^{ns} (ร้อยละ)	โปรตีน (ร้อยละ)	ค่าความเป็นกรดด่าง
0 (สูตรควบคุม)	10.34 ± 1.00	1.76 ^c ± 0.04	6.32 ^c ± 0.04
0.5	9.50 ± 1.34	1.71 ^{bc} ± 0.03	6.28 ^b ± 0.04
1.0	9.34 ± 0.99	1.67 ^{ab} ± 0.03	6.18 ^a ± 0.04
1.5	9.23 ± 0.92	1.63 ^a ± 0.01	6.17 ^a ± 0.05

หมายเหตุ: - ตัวเลขที่แสดงในตารางเป็นค่าเฉลี่ยจากการวิเคราะห์ 3 ซ้ำ ± ค่าเบี่ยงเบนมาตรฐาน

- ตัวอักษรภาษาอังกฤษที่กำกับค่าของข้อมูลที่แตกต่างกันในแต่ละแนวตั้ง แสดงว่ามีความแตกต่างกันอย่างมีนัยสำคัญทางสถิติที่ระดับความเชื่อมั่นร้อยละ 95

- ns หมายถึง ไม่มีความแตกต่างกันอย่างมีนัยสำคัญทางสถิติที่ระดับความเชื่อมั่นร้อยละ 95

4.3.1.3 การทดสอบทางประสาทสัมผัส

ผลการทดสอบคุณภาพทางประสาทสัมผัสของไอศกรีมนมเสริมเส้นใยอาหารผงจากเปลือกในส้มโอเปรียบเทียบกับไอศกรีมนมสูตรควบคุม ด้วยวิธี Hedonic scoring test 9 point โดยใช้ผู้ทดสอบชิม 25 คน และทำการทดสอบชิม 2 ครั้ง แสดงคั้งตารางที่ 4.20

การยอมรับด้านสีที่ปรากฏ พบว่า การเพิ่มปริมาณเส้นใยอาหารผงจากเปลือกในส้มโอในส่วนผสมไอศกรีมเป็นร้อยละ 0.5, 1.0 และ 1.5 (w/w) ทำให้ไอศกรีมนมเสริมเส้นใยอาหารผงได้รับคะแนนการยอมรับด้านสีที่ปรากฏเท่ากับ 7.64, 7.62 และ 7.64 ตามลำดับ ซึ่งคะแนนที่ได้ไม่แตกต่างกันอย่างมีนัยสำคัญทางสถิติ ($p>0.05$) กับไอศกรีมนมสูตรควบคุมที่ได้คะแนนการยอมรับด้านสีที่ปรากฏเท่ากับ 7.66 เนื่องจากเส้นใยอาหารผงจากเปลือกในส้มโอมีลักษณะเป็นผงละเอียดสีขาว ดังนั้นจึงไม่รบกวนสีของไอศกรีม นอกจากนั้นฟองอากาศยังมีผลต่อสีของไอศกรีมเนื่องจากฟองอากาศจะสะท้อนแสงได้ ดังนั้นไอศกรีมที่มีฟองอากาศมากหรือมีค่าการขึ้นฟูสูง จะมีสีสว่างกว่าไอศกรีมที่มีฟองอากาศน้อยกว่าหรือมีค่าการขึ้นฟูต่ำ (Clarke, 2004) ซึ่งอธิบายผลของคะแนนการยอมรับด้านสีที่ปรากฏของไอศกรีมนมสูตรควบคุมที่ได้รับคะแนนสูงกว่าไอศกรีมนมเสริมเส้นใยอาหารผงเล็กน้อย

การยอมรับด้านกลิ่นวานิลลา พบว่า การเพิ่มปริมาณเส้นใยอาหารผงจากเปลือกในส้มโอในส่วนผสมไอศกรีมเป็นร้อยละ 0.5, 1.0 และ 1.5 (w/w) ทำให้ไอศกรีมนมเสริมเส้นใยอาหารผงได้รับคะแนนการยอมรับด้านกลิ่นวานิลลาเท่ากับ 7.30, 7.24 และ 7.18 ตามลำดับ ซึ่งคะแนนที่ได้ไม่แตกต่างกันอย่างมีนัยสำคัญทางสถิติ ($p>0.05$) กับไอศกรีมนมสูตรควบคุม ที่ได้คะแนนการยอมรับด้านกลิ่นวานิลลาเท่ากับ 7.30 เนื่องจากไขมันทำหน้าที่เป็นตัวพาและปลดปล่อยกลิ่นรสของไอศกรีม (จุฑาทิพย์, 2549) การที่ส่วนผสมไอศกรีมของไอศกรีมนมสูตรควบคุมมีปริมาณไขมันมากกว่า จะทำให้ระยะเวลาการรับรู้กลิ่นวานิลลานั้นขึ้น (หทัยทิพย์, 2552) ส่งผลให้ไอศกรีมนมสูตรควบคุมได้คะแนนการยอมรับด้านกลิ่นวานิลลาสูงกว่าไอศกรีมนมเสริมเส้นใยอาหารผงจากเปลือกในส้มโอเล็กน้อย

การยอมรับด้านความเรียบเนียน พบว่า ไอศกรีมนมสูตรควบคุมได้รับคะแนนการยอมรับด้านความเรียบเนียนสูงสุด คือ 7.14 การเพิ่มปริมาณเส้นใยอาหารผงจากเปลือกในส้มโอในส่วนผสมไอศกรีมเป็นร้อยละ 0.5, 1.0 และ 1.5 (w/w) ส่งผลให้คะแนนการยอมรับด้านความเรียบ

เนียนลดลง ($p \leq 0.05$) โดยได้คะแนนเท่ากับ 6.48, 6.04 และ 5.30 ตามลำดับ เนื่องจากเส้นใยอาหารมีสมบัติในการจับกับน้ำและเกิดเจลได้ดี (Nelson, 2001; Sangnark and Noomhorm, 2003; Elleuch *et al.*, 2011) เมื่อเส้นใยอาหารคูดน้ำในส่วนผสม จะทำให้น้ำที่จะกลายเป็นน้ำแข็งหรือน้ำที่อยู่ในรูปของน้ำเชื่อมมีปริมาณน้อยลง ทำให้ไอศกรีมที่ได้มีเนื้อสัมผัสที่หยาบ (หทัยทิพย์, 2552)

การยอมรับด้านความมัน พบว่า ไอศกรีมนมสูตรควบคุมได้รับคะแนนการยอมรับด้านความมันสูงสุด คือ 7.42 การเพิ่มปริมาณเส้นใยอาหารผงจากเปลือกในส้มโอในส่วนผสมไอศกรีมเป็นร้อยละ 0.5, 1.0 และ 1.5 (w/w) ส่งผลให้คะแนนการยอมรับด้านความมันลดลง ($p \leq 0.05$) แต่คะแนนที่ได้ ไม่แตกต่างกันอย่างมีนัยสำคัญทางสถิติ ($p > 0.05$) โดยมีคะแนนเท่ากับ 7.12, 7.10 และ 7.08 ตามลำดับ ซึ่งสอดคล้องกับปริมาณไขมันในผลิตภัณฑ์ไอศกรีม แสดงดังตารางที่ 4.16 พบว่า ไอศกรีมนมสูตรควบคุมมีปริมาณไขมันสูงสุด คือ ร้อยละ 10.34 แสดงว่า ปริมาณไขมันในสูตรมีผลต่อการยอมรับด้านความมันของผู้ทดสอบชิม

การยอมรับด้านความเหนียวหนืด พบว่า ไอศกรีมนมสูตรควบคุม ได้คะแนนการยอมรับด้านความเหนียวหนืดเท่ากับ 6.60 การเพิ่มปริมาณเส้นใยอาหารผงจากเปลือกในส้มโอในส่วนผสมไอศกรีมเป็นร้อยละ 0.5, 1.0 และ 1.5 (w/w) ส่งผลให้คะแนนการยอมรับด้านความเหนียวหนืดมีแนวโน้มเพิ่มขึ้น แต่คะแนนที่ได้ไม่แตกต่างกันอย่างมีนัยสำคัญทางสถิติ ($p > 0.05$) กับไอศกรีมนมสูตรควบคุม โดยมีคะแนนเท่ากับ 6.62, 6.68 และ 6.66 ตามลำดับ เนื่องจากเส้นใยอาหารผงจากเปลือกในส้มโอซึ่งเป็นผลไม้ตระกูลส้มมีปริมาณเพคตินสูง (Prosky and Devries, 1992) การนำมาใช้เป็นส่วนผสมในการผลิตไอศกรีม จะทำให้ไอศกรีมที่ได้มีความหนืดเพิ่มขึ้น และมีลักษณะเหนียวคล้ายยาง (gummy)

การยอมรับด้านการรับรส พบว่า ไอศกรีมนมสูตรควบคุม ได้คะแนนการยอมรับด้านการรับรสเท่ากับ 8.18 การเพิ่มปริมาณเส้นใยอาหารผงจากเปลือกในส้มโอในส่วนผสมไอศกรีมเป็นร้อยละ 0.5, 1.0 และ 1.5 (w/w) ส่งผลให้คะแนนการยอมรับด้านการรับรสลดลง แต่คะแนนที่ได้ไม่แตกต่างกันอย่างมีนัยสำคัญทางสถิติ ($p > 0.05$) กับไอศกรีมนมสูตรควบคุม โดยมีคะแนนเท่ากับ 8.06, 8.06 และ 8.04 ตามลำดับ เนื่องจากเปลือกในส้มโอมีสารให้รสขมคือ นารินจินและลิโมนินเป็นองค์ประกอบ (Pichaiyongvongdee and Haruenkit, 2009) ทำให้เส้นใยอาหารผงที่ผลิตได้มีรสขม เมื่อนำไปเสริมในผลิตภัณฑ์อาหารอาจทำให้ไม่เป็นที่ยอมรับของผู้บริโภค แต่เส้นใยอาหารผงจากเปลือกในส้มโอที่ใช้ในการศึกษาครั้งนี้ผ่านการลดความขมมาแล้ว เมื่อนำมาใช้เป็น

ส่วนผสมในไอศกรีม ทำให้ไอศกรีมที่ได้ไม่มีรสขม ส่งผลให้ผู้ทดสอบชิมไม่สามารถรับรสขมของเส้นใยอาหารผงจากเปลือกในส้มโอที่เสริมลงในไอศกรีมได้ ดังนั้นการยอมรับด้านการรับรสขมของไอศกรีมจึงมีคะแนนสูง

การยอมรับด้านการละลายในปากและการยอมรับรวมให้ผลในทิศทางเดียวกัน โดยพบว่าไอศกรีมนมสูตรควบคุม ได้คะแนนการยอมรับด้านการละลายในปากและการยอมรับรวมสูงสุด คือ 7.40 และ 7.62 ตามลำดับ ส่วนไอศกรีมเสริมเส้นใยอาหารผงร้อยละ 1.5 (w/w) ได้คะแนนการยอมรับด้านการละลายในปากและการยอมรับรวมต่ำสุด คือ 6.12 และ 6.24 ตามลำดับ อย่างไรก็ตาม ไอศกรีมเสริมเส้นใยอาหารผงร้อยละ 1.0 และ 0.5 (w/w) ได้คะแนนการยอมรับด้านการละลายในปากและการยอมรับรวม ไม่แตกต่างกันอย่างมีนัยสำคัญทางสถิติ ($p>0.05$) โดยมีคะแนนการยอมรับด้านการละลายในปากเท่ากับ 6.68 และ 6.86 ตามลำดับ และมีคะแนนการยอมรับด้านการยอมรับรวมเท่ากับ 6.94 และ 7.08 ตามลำดับ

ผลการวิเคราะห์สมบัติทางกายภาพ เคมี และคุณภาพทางประสาทสัมผัสของไอศกรีมนมเสริมเส้นใยอาหารผงจากเปลือกในส้มโอเปรียบเทียบกับไอศกรีมนมสูตรควบคุมข้างต้น แสดงให้เห็นว่า การเสริมเส้นใยอาหารผงจากเปลือกในส้มโอในไอศกรีมนม ส่งผลให้สมบัติทางกายภาพ เคมี และคุณภาพทางประสาทสัมผัสของไอศกรีมเปลี่ยนแปลงไป จากการพิจารณาโดยรวม พบว่าการเสริมเส้นใยอาหารผงจากเปลือกในส้มโอในไอศกรีมนม ทำให้มีค่าการขึ้นฟู และอัตราการละลายต่ำ แต่มีค่าความแน่นเนื้อสูงกว่าไอศกรีมนมสูตรควบคุม โดยไอศกรีมนมเสริมเส้นใยอาหารผงจากเปลือกในส้มโอร้อยละ 1.0 (w/w) มีค่าการขึ้นฟู และความแน่นเนื้อไม่แตกต่างกับร้อยละ 0.5 (w/w) ($p>0.05$) แต่มีอัตราการละลายช้ากว่า ($p\leq 0.05$) โดยไอศกรีมที่ได้มีคุณภาพทางประสาทสัมผัสการยอมรับด้านสีที่ปรากฏ กลิ่นวานิลลา ความมัน ความเหนียวหนืด การละลายในปาก การรับรสขม และการยอมรับรวม ไม่แตกต่างกันอย่างมีนัยสำคัญทางสถิติ ($p>0.05$) ดังนั้นปริมาณเส้นใยอาหารผงจากเปลือกในส้มโอที่เหมาะสมสำหรับเสริมในไอศกรีมนม คือ ร้อยละ 1.0 (w/w) ซึ่งเป็นปริมาณเส้นใยอาหารผงสูงสุดที่ผู้บริโภคยอมรับได้ จึงเลือกปริมาณเส้นใยอาหารผงจากเปลือกในส้มโอดังกล่าวมาศึกษาผลของการไฮโมจิไนซ์ส่วนผสมไอศกรีมต่อคุณภาพของไอศกรีมนมเสริมเส้นใยอาหารผงจากเปลือกในส้มโอต่อไป

ตารางที่ 4.20 คุณภาพทางประสาทสัมผัสของ ไอศกรีมนมเสริมเส้นใยอาหารผงจากเปลือกในส้มโอเปรียบเทียบกับไอศกรีมนมสูตรควบคุม

ปริมาณ เส้นใยอาหารผง (ร้อยละ)	ลักษณะทางประสาทสัมผัส*									
	สี ^{ns}	กลิ่นวานิลลา ^{ns}	ความเรียบเนียน	ความมัน	ความเหนียวหนืด ^{ns}	การละลายในปาก	การรับรสขม ^{ns}	การยอมรับรวม		
0 (สูตรควบคุม)	7.66 ± 0.49	7.30 ± 0.50	7.14 ^d ± 0.76	7.42 ^b ± 0.69	6.60 ± 0.84	7.40 ^c ± 0.66	8.18 ± 0.52	7.62 ^c ± 0.56		
0.50	7.64 ± 0.55	7.30 ± 0.61	6.48 ^c ± 0.94	7.12 ^a ± 0.63	6.62 ± 0.70	6.86 ^b ± 0.60	8.06 ± 0.63	7.08 ^b ± 0.57		
1.00	7.62 ± 0.44	7.24 ± 0.68	6.04 ^b ± 0.83	7.10 ^a ± 0.56	6.68 ± 0.59	6.68 ^b ± 0.66	8.06 ± 0.46	6.94 ^b ± 0.63		
1.50	7.64 ± 0.47	7.18 ± 0.83	5.30 ^a ± 0.85	7.08 ^a ± 0.69	6.66 ± 0.55	6.12 ^a ± 0.74	8.04 ± 0.52	6.24 ^a ± 0.87		

หมายเหตุ: - * 1 = ไม่ชอบมากที่สุด ถึง 9 = ชอบมากที่สุด

- ตัวเลขที่แสดงในตารางเป็นค่าเฉลี่ยจากการวิเคราะห์ 3 ซ้ำ ± ค่าเบี่ยงเบนมาตรฐาน
- ตัวอักษรภาษาอังกฤษที่กำกับค่าของข้อมูลที่แตกต่างกันในแต่ละแนวตั้ง แสดงว่ามีความแตกต่างกันอย่างมีนัยสำคัญทางสถิติที่ระดับความเชื่อมั่นร้อยละ 95
- ns หมายถึง ไม่มีความแตกต่างกันอย่างมีนัยสำคัญทางสถิติที่ระดับความเชื่อมั่นร้อยละ 95

4.3.2 ผลของการโฮโมจิไนซ์ส่วนผสมไอศกรีมต่อคุณภาพของไอศกรีมนมเสริมเส้นใยอาหารผงจากเปลือกอินสั่มโอ

4.3.2.1 สมบัติทางกายภาพ

ก) ปริมาณของแข็งที่ละลายได้ในน้ำทั้งหมด

ผลการวิเคราะห์ปริมาณของแข็งที่ละลายได้ในน้ำทั้งหมดของส่วนผสมไอศกรีมทั้งที่ผ่านและไม่ผ่านการโฮโมจิไนซ์ แสดงดังตารางที่ 4.21 พบว่า ส่วนผสมไอศกรีมทั้งที่ผ่านและไม่ผ่านการโฮโมจิไนซ์ มีปริมาณของแข็งที่ละลายได้ในน้ำทั้งหมด ไม่แตกต่างกันอย่างมีนัยสำคัญทางสถิติ ($p > 0.05$) โดยมีค่าเท่ากับ 25.52 และ 25.51 องศาบริกซ์ ตามลำดับ

ข) ความหนืดปรากฏ

ผลการวิเคราะห์ความหนืดปรากฏ ของส่วนผสมไอศกรีมทั้งที่ผ่านและไม่ผ่านการโฮโมจิไนซ์ แสดงดังตารางที่ 4.21 พบว่า ส่วนผสมไอศกรีมที่ผ่านการโฮโมจิไนซ์ มีค่าความหนืดปรากฏสูงกว่าส่วนผสมไอศกรีมที่ไม่ผ่านการโฮโมจิไนซ์ ($p \leq 0.05$) โดยมีค่าความหนืดปรากฏเท่ากับ 124.22 และ 85.92 เซนติพอยส์ ตามลำดับ

ค) การขึ้นฟู

การขึ้นฟู คือ ปริมาตรของไอศกรีมที่เพิ่มขึ้นจากปริมาตรของส่วนผสมไอศกรีม ซึ่งการเพิ่มขึ้นของปริมาตรของส่วนผสมเกิดจากอากาศแทรกตัวเข้าไปในเนื้อไอศกรีมในระหว่างการตีปั่นให้แข็งตัว (สุพรรณ, 2546) ผลการวิเคราะห์ค่าการขึ้นฟูของส่วนผสมไอศกรีมทั้งที่ผ่านและไม่ผ่านการโฮโมจิไนซ์ แสดงดังตารางที่ 4.21 พบว่า ส่วนผสมไอศกรีมที่ผ่านการโฮโมจิไนซ์ มีค่าการขึ้นฟูต่ำกว่าส่วนผสมไอศกรีมที่ไม่ผ่านการโฮโมจิไนซ์ ($p \leq 0.05$) โดยมีค่าการขึ้นฟูเท่ากับร้อยละ 52.45 และ 55.32 ตามลำดับ เนื่องจากการโฮโมจิไนซ์ทำให้ส่วนผสมไอศกรีมมีค่าความหนืดสูงกว่า จึงทำให้การตีอากาศเข้าไปในเนื้อไอศกรีมในระหว่างการปั่นทำได้น้อยลง ส่งผลให้ไอศกรีมที่ได้ค่าการขึ้นฟูต่ำ (กุงนาง, 2552; หทัยทิพย์, 2552; Clarke, 2004)

ง) อัตราการละลาย

อัตราการละลายของไอศกรีมนมเสริมเส้นใยอาหารผงจากเปลือกในส้มโอทั้งที่ผ่านและไม่ผ่านการไฮโมจิไนซ์ แสดงดังตารางที่ 4.21 พบว่า การไฮโมจิไนซ์และไม่ไฮโมจิไนซ์ส่วนผสมไอศกรีม ทำให้อัตราการละลายของไอศกรีมนมเสริมเส้นใยอาหารผง ไม่แตกต่างกันอย่างมีนัยสำคัญทางสถิติ ($p>0.05$) โดยมีอัตราการละลายเท่ากับ 0.17 และ 0.19 กรัมต่อ 100 กรัมต่อนาทีตามลำดับ

จ) ความแน่นเนื้อ

ความแน่นเนื้อของไอศกรีมมีความสัมพันธ์โดยตรงกับค่าการขึ้นฟู คือ ไอศกรีมที่มีค่าการขึ้นฟูต่ำ จะทำให้ค่าความแน่นเนื้อเพิ่มขึ้น (Clarke, 2004) ผลการวิเคราะห์ความแน่นเนื้อของไอศกรีมนมเสริมเส้นใยอาหารผงจากเปลือกในส้มโอทั้งที่ผ่านและไม่ผ่านการไฮโมจิไนซ์ แสดงดังตารางที่ 4.21 พบว่า ไอศกรีมนมเสริมเส้นใยอาหารผงจากเปลือกในส้มโอที่ผ่านการไฮโมจิไนซ์ มีค่าความแน่นเนื้อสูงกว่าไอศกรีมนมเสริมเส้นใยอาหารผงจากเปลือกในส้มโอที่ไม่ผ่านการไฮโมจิไนซ์ โดยมีค่าความแน่นเนื้อเท่ากับ 2,827.38 และ 2,612.92 กรัม ตามลำดับ ซึ่งสอดคล้องกับงานวิจัยของกึ่งนาง (2552) และ Marshall and Arbuckle (1996) ซึ่งพบว่า ตัวอย่างที่มีค่าการขึ้นฟูต่ำ จะมีค่าความแน่นเนื้อสูง

ตารางที่ 4.21 สมบัติทางกายภาพของส่วนผสมไอศกรีมทั้งที่ผ่านและไม่ผ่านการไฮโมจิไนซ์

สมบัติทางกายภาพ	ขั้นตอนการผลิตไอศกรีม	
	ผ่านการไฮโมจิไนซ์	ไม่ผ่านการไฮโมจิไนซ์
ปริมาณของแข็งที่ละลายได้ในน้ำทั้งหมด ^{ns} (องศาบริกซ์)	25.52 ± 0.14	25.51 ± 0.15
ความหนืดปรากฏ (เซนติพอยส์)	124.22 ^b ± 1.06	85.92 ^a ± 3.99
การขึ้นฟู (ร้อยละ)	52.45 ^a ± 2.84	55.32 ^b ± 2.67
อัตราการละลาย ^{ns} (กรัมต่อ100 กรัมต่อนาที)	0.17 ± 0.02	0.19 ± 0.06
ความแน่นเนื้อ (กรัม, gram force)	2,827.38 ^b ± 98.12	2,612.92 ^a ± 189.87

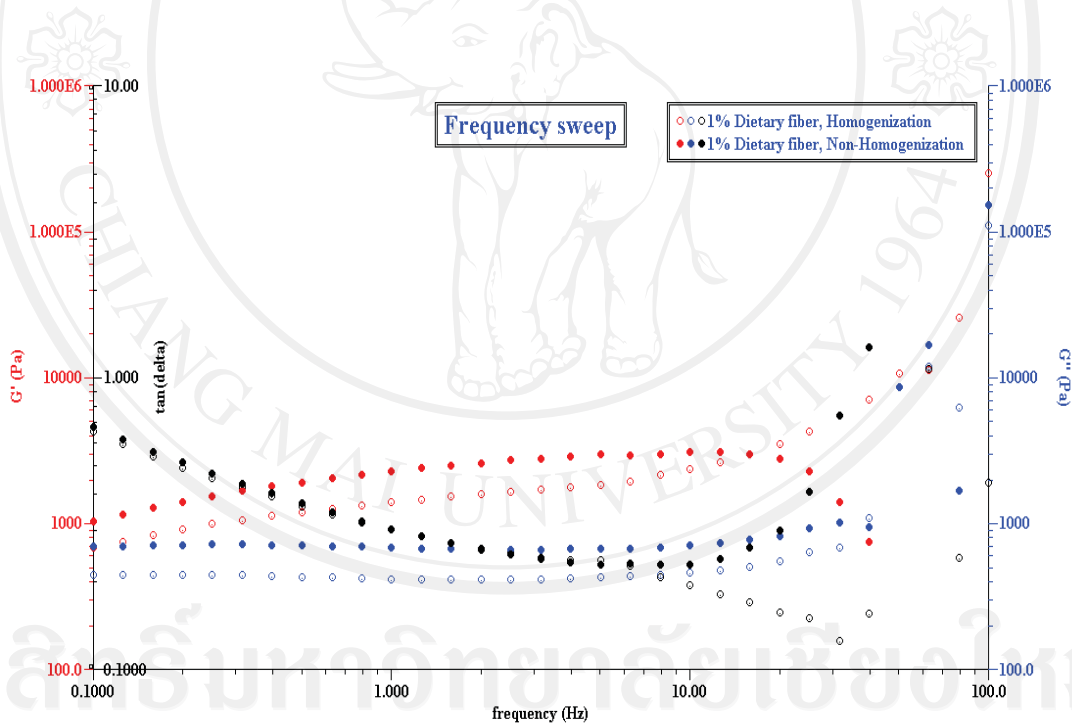
หมายเหตุ : - ตัวเลขที่แสดงในตารางเป็นค่าเฉลี่ยจากการวิเคราะห์ 3 ซ้ำ ± ค่าเบี่ยงเบนมาตรฐาน

- ตัวอักษรภาษาอังกฤษที่กำกับค่าของข้อมูลที่แตกต่างกันในแต่ละแถวบนอน แสดงว่ามีความแตกต่างกันอย่างมีนัยสำคัญทางสถิติที่ระดับความเชื่อมั่นร้อยละ 95

- ns หมายถึง ไม่มีความแตกต่างกันอย่างมีนัยสำคัญทางสถิติที่ระดับความเชื่อมั่นร้อยละ 95

จ) สมบัติทางรีโอโลยี

ผลการวิเคราะห์ค่าโมดูลัสสะสม ค่าโมดูลัสสูญหาย และค่า loss tangent ($\tan \delta$) ของ ไอศกรีมนมเสริมเส้นใยอาหารผงจากเปลือกในส้มโอทั้งที่ผ่านและไม่ผ่านการโฮโมจิไนซ์ แสดงดังรูปที่ 4.15 พบว่า ไอศกรีมนมเสริมเส้นใยอาหารผงจากเปลือกในส้มโอทั้งที่ผ่านและไม่ผ่านการโฮโมจิไนซ์ มีค่าโมดูลัสสะสมสูงกว่าโมดูลัสสูญหาย อีกทั้งมีค่า loss tangent ต่ำกว่า 1 แสดงว่า ไอศกรีมนมเสริมเส้นใยอาหารผงจากเปลือกในส้มโอทั้งที่ผ่านและไม่ผ่านการโฮโมจิไนซ์มีลักษณะเป็นของแข็งยืดหยุ่น (elastic solid) มากกว่าของเหลวไหลหนืด (viscous fluid) และจะเริ่มเสียสภาพเมื่อความถี่สูงกว่า 10 เฮิรตซ์ อาจเนื่องมาจากผลึกน้ำแข็งเกิดการละลายหรือโครงสร้างอื่น เช่น ฟองอากาศ โครงสร้างของไขมัน โปรตีน หรือสารให้ความคงตัวเกิดการเปลี่ยนแปลงหรือถูกทำลายจากความถี่สูงเกินไป (หทัยทิพย์, 2552)



รูปที่ 4.15 ค่าโมดูลัสสะสม (G') ค่าโมดูลัสสูญหาย (G'') และ ค่า loss tangent ($\tan \delta$) ของ ไอศกรีมนมเสริมเส้นใยอาหารผงจากเปลือกในส้มโอทั้งที่ผ่านและไม่ผ่านการโฮโมจิไนซ์

จากนั้นเปรียบเทียบค่าโมดูลัสสะสม ค่าโมดูลัสสูญหาย และค่า loss tangent ที่ความถี่ 1 เฮิรตซ์ แสดงดังตารางที่ 4.22 พบว่า ไอศกรีมนมเสริมเส้นใยอาหารผงจากเปลือกในส้มโอทั้งที่ผ่านและไม่ผ่านการโฮโมจิไนซ์ มีค่าโมดูลัสสะสมเท่ากับ 1379.70 และ 2234.56 ปาสคาล ตามลำดับ

และมีค่าโมดูลัสสูญเสียเท่ากับ 409.98 และ 670.78 ปาสคาล ตามลำดับ ส่วนค่า loss tangent พบว่า มีค่าไม่แตกต่างกันอย่างมีนัยสำคัญทางสถิติ ($p>0.05$) โดยมีค่าเท่ากับ 0.30

ตารางที่ 4.22 ค่าโมดูลัสสะสม ค่าโมดูลัสสูญเสีย และค่า loss tangent ของไอศกรีมนมเสริมเส้นใยอาหารผงจากเปลือกในส้มโอทั้งที่ผ่านและไม่ผ่านการโฮโมจิไนซ์

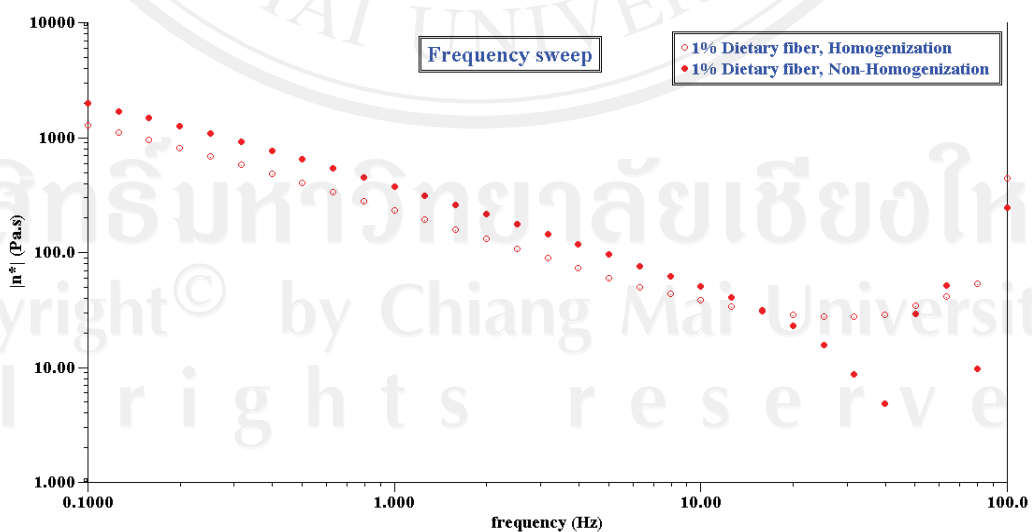
ขั้นตอนการผลิตไอศกรีม	G' (Pa)	G'' (Pa)	tan δ^{ns}
โฮโมจิไนซ์	1379.70 ^a ± 356.66	409.98 ^a ± 102.23	0.30 ± 0.02
ไม่โฮโมจิไนซ์	2234.56 ^b ± 358.26	670.78 ^b ± 107.57	0.30 ± 0.01

หมายเหตุ : - ตัวเลขที่แสดงในตารางเป็นค่าเฉลี่ยจากการวิเคราะห์ 3 ซ้ำ ± ค่าเบี่ยงเบนมาตรฐาน

- ตัวอักษรภาษาอังกฤษที่กำกับค่าของข้อมูลที่แตกต่างกันในแต่ละแนวตั้ง แสดงว่ามีความแตกต่างกันอย่างมีนัยสำคัญทางสถิติที่ระดับความเชื่อมั่นร้อยละ 95

- ns หมายถึง คือ ไม่มีความแตกต่างกันอย่างมีนัยสำคัญทางสถิติที่ระดับความเชื่อมั่นร้อยละ 95

ผลการวิเคราะห์ค่าความหนืดเชิงซ้อน แสดงดังรูปที่ 4.16 พบว่า ไอศกรีมนมเสริมเส้นใยอาหารผงจากเปลือกในส้มโอที่ไม่ผ่านการโฮโมจิไนซ์มีค่าความหนืดเชิงซ้อนสูงกว่าที่ผ่านการโฮโมจิไนซ์ โดยค่าความหนืดเชิงซ้อนจะเปลี่ยนแปลงไปตามความถี่ และลดลงอย่างรวดเร็วตามความถี่ที่เพิ่มขึ้น แสดงว่า ไอศกรีมที่ได้แสดงพฤติกรรมของไหลแบบ non-Newtonian แบบ shear thinning



รูปที่ 4.16 ค่าความหนืดเชิงซ้อนของไอศกรีมนมเสริมเส้นใยอาหารผงจากเปลือกในส้มโอทั้งที่ผ่านและไม่ผ่านการโฮโมจิไนซ์

เมื่อเปรียบเทียบค่าความหนืดเชิงซ้อนที่ความถี่ 1 เฮิรตซ์ แสดงดังตารางที่ 4.23 พบว่า ไอศกรีมนมเสริมเส้นใยอาหารผงจากเปลือกในส้มโอที่ไม่ผ่านการโฮโมจิไนซ์มีค่าความหนืดเชิงซ้อนสูงกว่าที่ผ่านการโฮโมจิไนซ์ โดยมีค่าเท่ากับ 371.31 และ 228.24 ปาสคาล.วินาที ตามลำดับ

ตารางที่ 4.23 ค่าความหนืดเชิงซ้อนของไอศกรีมนมเสริมเส้นใยอาหารผงจากเปลือกในส้มโอทั้งที่ผ่านและไม่ผ่านการโฮโมจิไนซ์

ขั้นตอนการผลิตไอศกรีม	ความหนืดเชิงซ้อน (ปาสคาล.วินาที)
โฮโมจิไนซ์	228.24 ^a ± 59.58
ไม่โฮโมจิไนซ์	371.31 ^b ± 59.31

หมายเหตุ : - ตัวเลขที่แสดงในตารางเป็นค่าเฉลี่ยจากการวิเคราะห์ 3 ซ้ำ ± ค่าเบี่ยงเบนมาตรฐาน
- ตัวอักษรภาษาอังกฤษที่กำกับค่าของข้อมูลที่แตกต่างกันในแต่ละแนวตั้ง แสดงว่ามีความแตกต่างกันอย่างมีนัยสำคัญทางสถิติที่ระดับความเชื่อมั่นร้อยละ 95

4.3.2.2 สมบัติทางเคมี

ก) ปริมาณไขมันและโปรตีน

ผลการวิเคราะห์ปริมาณไขมันและโปรตีนในไอศกรีมนมเสริมเส้นใยอาหารผงจากเปลือกในส้มโอทั้งที่ผ่านและไม่ผ่านการโฮโมจิไนซ์ แสดงดังตารางที่ 4.24 พบว่า ไอศกรีมมิกซ์ทั้งที่ผ่านและไม่ผ่านการโฮโมจิไนซ์ มีปริมาณไขมันไม่แตกต่างกันอย่างมีนัยสำคัญทางสถิติ ($p>0.05$) โดยมีปริมาณไขมันเท่ากับร้อยละ 9.33 และ 9.25 ตามลำดับ และมีปริมาณโปรตีน ไม่แตกต่างกันอย่างมีนัยสำคัญทางสถิติ ($p>0.05$) โดยมีปริมาณโปรตีนเท่ากับร้อยละ 2.08 และ 2.07 ตามลำดับ

ข) ค่าความเป็นกรด-ด่าง

ผลการวิเคราะห์ค่าความเป็นกรด-ด่างของไอศกรีมนมเสริมเส้นใยอาหารผงจากเปลือกในส้มโอทั้งที่ผ่านและไม่ผ่านการโฮโมจิไนซ์ แสดงดังตารางที่ 4.24 พบว่า ไอศกรีมมิกซ์ทั้งที่ผ่านและไม่ผ่านการโฮโมจิไนซ์ มีค่าความเป็นกรด-ด่าง ไม่แตกต่างกันอย่างมีนัยสำคัญทางสถิติ ($p>0.05$) โดยมีค่าเท่ากับ 6.20 และ 6.21 ตามลำดับ

ตารางที่ 4.24 สมบัติทางเคมีของไอศกรีมนมเสริมเส้นใยอาหารผงจากเปลือกในส้มโอทั้งที่ผ่านและไม่ผ่านการโฮโมจิไนซ์

ขั้นตอนการผลิต ไอศกรีม	สมบัติทางเคมี		
	ไขมัน ^{ns} (ร้อยละ)	โปรตีน ^{ns} (ร้อยละ)	ค่าความเป็นกรด-ด่าง ^{ns}
ผ่านการโฮโมจิไนซ์	9.33 ± 0.29	2.08 ± 0.14	6.20 ± 0.05
ไม่ผ่านการโฮโมจิไนซ์	9.25 ± 0.55	2.07 ± 0.09	6.21 ± 0.06

หมายเหตุ: - ns หมายถึง ไม่มีความแตกต่างกันอย่างมีนัยสำคัญทางสถิติที่ระดับความเชื่อมั่นร้อยละ 95

ค) การทดสอบทางประสาทสัมผัส

ผลการทดสอบคุณภาพทางประสาทสัมผัสของไอศกรีมนมเสริมเส้นใยอาหารผงจากเปลือกในส้มโอทั้งที่ผ่านและไม่ผ่านการโฮโมจิไนซ์ แสดงดังตารางที่ 4.25 พบว่า คุณภาพทางประสาทสัมผัสด้านสีที่ปรากฏ กลิ่นวานิลลา ความเรียบเนียน ความมัน ความเหนียวหนืด การละลายในปาก การรับรสชม และการยอมรับรวม ของไอศกรีมนมเสริมเส้นใยอาหารผงจากเปลือกในส้มโอทั้งที่ผ่านและไม่ผ่านการโฮโมจิไนซ์ ไม่แตกต่างกันอย่างมีนัยสำคัญทางสถิติ ($p > 0.05$) แต่อย่างไรก็ตามคะแนนการยอมรับทางประสาทสัมผัสของไอศกรีมนมเสริมเส้นใยอาหารผงจากเปลือกในส้มโอที่ไม่ผ่านการโฮโมจิไนซ์ มีค่าเฉลี่ยสูงกว่าไอศกรีมนมเสริมเส้นใยอาหารผงจากเปลือกในส้มโอที่ผ่านการโฮโมจิไนซ์ เนื่องจากไอศกรีมที่ไม่ผ่านการโฮโมจิไนซ์จะผ่านขั้นตอนการปั่นผสม (mixing) ด้วยเครื่องปั่นผสมอาหาร (blender) แทน ซึ่งใบมีดในเครื่องปั่นผสมอาหาร ทำหน้าที่ในการตัดเส้นใยอาหารผงในส่วนผสมไอศกรีมให้มีขนาดเล็กลง ดังนั้นไอศกรีมที่ได้จึงมีลักษณะคล้ายเม็ดทราย (sandy) น้อยกว่าไอศกรีมที่ผ่านการโฮโมจิไนซ์

ตารางที่ 4.25 คุณภาพทางประสาทสัมผัสของไอศกรีมนมเสริมเส้นใยอาหารผงจากเปลือกในส้มโอ ทั้งที่ผ่านและไม่ผ่านการโฮโมจิไนซ์

ลักษณะทางประสาทสัมผัส	ขั้นตอนการผลิตไอศกรีม	
	ผ่านการโฮโมจิไนซ์	ไม่ผ่านการโฮโมจิไนซ์
สีที่ปรากฏ ^{ns}	8.06 ± 0.56	8.00 ± 0.54
กลิ่นวานิลลา ^{ns}	7.22 ± 0.89	7.38 ± 0.83
ความเรียบเนียน ^{ns}	6.62 ± 1.29	6.66 ± 1.08
ความมัน ^{ns}	6.86 ± 0.96	7.10 ± 1.02
ความเหนียวหนืด ^{ns}	6.48 ± 1.05	6.64 ± 1.09
การละลายในปาก ^{ns}	6.72 ± 0.87	6.98 ± 0.91
การรับรส ^{ns}	8.00 ± 0.78	8.02 ± 0.70
การยอมรับรวม ^{ns}	7.46 ± 0.58	7.50 ± 0.60

หมายเหตุ : - ns หมายถึง ไม่มีความแตกต่างกันอย่างมีนัยสำคัญทางสถิติที่ระดับความเชื่อมั่นร้อยละ 95

เนื่องจากเครื่องโฮโมจิไนซ์ที่ใช้ในการศึกษาครั้งนี้เป็นแบบ rotor stator homogenizer ซึ่งมีประสิทธิภาพต่ำกว่าเครื่องโฮโมจิไนซ์แบบ two state homogenizer ที่ใช้ในระดับอุตสาหกรรมการผลิตไอศกรีมโดยทั่วไป ซึ่งอาจทำให้เม็ดไขมันเกิดการรวมตัวกันได้อีกครั้ง หลังผ่านการโฮโมจิไนซ์ จึงส่งผลให้คุณภาพของไอศกรีมในด้านต่างๆ ลดลง จนมีค่าใกล้เคียงกับไอศกรีมที่ไม่ผ่านการโฮโมจิไนซ์